

บทที่ 3

ผลการศึกษา

การศึกษาผลของน้ำทิ้งชุมชนต่อระบบบินิเวศแนวปะการังบริเวณอ่าวป่าตอง จังหวัดภูเก็ต ได้ทำการศึกษาดังต่อไปนี้ แต่เดือนมีนาคม 2536 ถึงเดือนกันยายน 2537 โดยศึกษาคุณภาพน้ำ การเปลี่ยนแปลงการครอบคลุมพื้นที่ขององค์ประกอบสิ่งมีชีวิตบริเวณแนวปะการัง องค์ประกอบชนิดและปริมาณของแพลงก์ตอนพืชแพลงก์ตอนสัตว์ และปริมาณแบคทีเรียในดินตะกอน ซึ่งผลการศึกษามีดังนี้

3.1 การศึกษาคุณภาพน้ำ

คุณภาพน้ำที่ศึกษา ได้แก่ อุณหภูมิ ความเค็ม ความโปร่งแสง ความเป็นกรดด่าง ปริมาณออกซิเจนที่ละลายน้ำ ปริมาณตะกอนแขวนลอย ปริมาณสารอาหารในตัวเรื่องที่ละลายน้ำในรูปของแอมโมเนีย ไนโตรท์ ไนโตรฟ ปริมาณสารอาหารฟอสฟอรัสที่ละลายน้ำในรูปของออฟอฟอสเฟต ปริมาณคลอโรฟิลล婀 ปริมาณรวมของแบคทีเรียนิดโคลิฟอร์ม และปริมาณรวมของแบคทีเรียนิดฟีคอลโคลิฟอร์ม ในสถานีต่างๆที่ทำการศึกษาร่วมทั้งสิ้น 6 สถานี โดยมีจุดเก็บตัวอย่างน้ำ 9 จุด ทั้งนี้ เนื่องจากในสถานีที่ 4, 5 และ 6 มีความลึกของน้ำมากกว่า 5 เมตร จึงเก็บตัวอย่างน้ำในระดับความลึกเหนือผิวน้ำ 1 เมตร เพิ่มเป็นสถานีที่ 4.1, 5.1 และ 6.1 ตามลำดับ ซึ่งผลการศึกษาคุณภาพน้ำบริเวณสถานีต่างๆที่ทำการศึกษาจะแสดงในภาคผนวก ก และทดสอบความแตกต่างของพารามิเตอร์ดังกล่าวในแต่ละสถานีระหว่างฤดูมรสุมตะวันออกเฉียงเหนือซึ่งเป็นฤดูแล้งและมรสุมตะวันตกเฉียงใต้ซึ่งเป็นฤดูฝน โดยใช้ ANOVA Two Factor With Replication ที่ $\alpha = 0.05$ และ 0.001 ซึ่งแสดงไว้ในภาคผนวก ข

3.1.1 อุณหภูมิ จากการศึกษาพบว่าอุณหภูมน้ำทะเลในแนวปะการังบริเวณอ่าวป่าตองในแต่ละสถานีมีค่าแตกต่างกันไม่มากนัก ดังแสดงในตารางที่ 3.1 และรูปที่ 3.1 อุณหภูมิของน้ำทะเลจะมีค่าอยู่ในช่วง 27-31 องศาเซลเซียส มีค่าเฉลี่ยตลอดเวลาที่ทำการศึกษาอยู่ในช่วง 28.8 ถึง 29.3 องศาเซลเซียส และเมื่อแยกพิจารณาตามฤดูมรสุมคือมรสุมตะวันออกเฉียงเหนือ (เดือนธันวาคม-เมษายน) ซึ่งเป็นฤดูแล้งจะมีอุณหภูมิของน้ำทะเลอยู่ในช่วง 28.5 ถึง 29.5 องศาเซลเซียส และช่วงมรสุมตะวันตกเฉียงใต้ (เดือนพฤษภาคม-พฤษจิกายน) ซึ่งเป็นฤดูฝนจะมีค่าอยู่ในช่วง 28.6 ถึง 29.2 องศาเซลเซียส จากการทดสอบทางสถิติพบว่าอุณหภูมิของน้ำทะเลที่สถานีต่างๆมีค่าไม่แตกต่างกันในช่วงมรสุมเดียว กันและสถานีเดียวกันจะไม่มีความแตกต่างของอุณหภูมิในแต่ละฤดูมรสุม

ตารางที่ 3.1 ค่าเฉลี่ยและส่วนเบี่ยงเบนมาตรฐานของอุณหภูมิน้ำท่าเล
ที่สถานีต่างๆบริเวณอ่าวป่าตอง (หน่วยเป็นองศาเซลเซียส) ¹

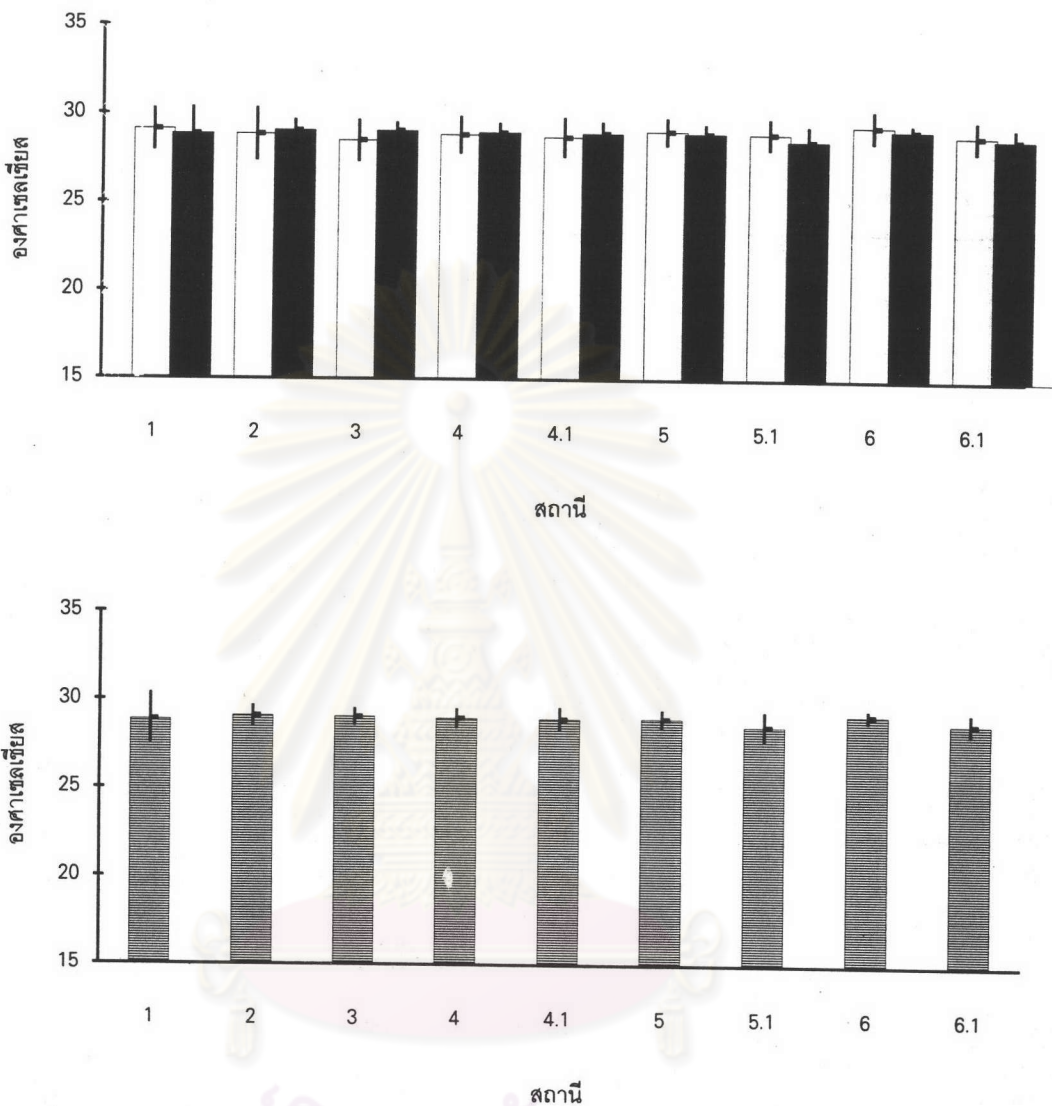
| สถานีที่ | มรดุมตะวันออกเฉียงเหนือ | | มรดุมตะวันตกเฉียงใต้ | | ตลอดปี | |
|----------|-------------------------|------|----------------------|-------------|--------|-------|
| | (ธ.ค.-เม.ย.) | MEAN | SD | (พ.ค.-พ.ย.) | MEAN | SD |
| 1 | 29.11 | 1.19 | | 28.96 | 1.42 | 29.02 |
| 2 | 28.86 | 1.49 | | 29.09 | 0.61 | 28.99 |
| 3 | 28.53 | 1.18 | | 29.07 | 0.49 | 28.85 |
| 4 | 28.87 | 1.05 | | 28.99 | 0.56 | 28.94 |
| 4.1 | 28.76 | 1.11 | | 28.98 | 0.66 | 28.89 |
| 5 | 29.1 | 0.78 | | 29 | 0.51 | 29.05 |
| 5.1 | 28.98 | 0.88 | | 28.59 | 0.85 | 28.77 |
| 6 | 29.45 | 0.91 | | 29.22 | 0.35 | 29.33 |
| 6.1 | 28.93 | 0.9 | | 28.78 | 0.63 | 28.86 |

1 จากการทดสอบโดย two way ANOVA ที่ $\alpha = 0.05$ พบรากดุมรดุมและสถานี
ไม่มีผลต่ออุณหภูมิของน้ำท่าเล (ภาคผนวก ข)

ตารางที่ 3.2 ค่าเฉลี่ยและส่วนเบี่ยงเบนมาตรฐานของความเค็มของน้ำท่าเล ²
ที่สถานีต่างๆบริเวณอ่าวป่าตอง (หน่วยเป็นส่วนในพันส่วน)

| สถานีที่ | มรดุมตะวันออกเฉียงเหนือ | | มรดุมตะวันตกเฉียงใต้ | | ตลอดปี | |
|----------|-------------------------|------|----------------------|-------------|--------|-------|
| | (ธ.ค.-เม.ย.) | MEAN | SD | (พ.ค.-พ.ย.) | MEAN | SD |
| 1 | 23.93 | 9.29 | | 17.65 | 9.19 | 20.24 |
| 2 | 32.94 | 2.68 | | 31.73 | 1.72 | 32.23 |
| 3 | 33.76 | 1.74 | | 33.22 | 1.8 | 33.44 |
| 4 | 33.71 | 1.98 | | 33.05 | 1.5 | 33.32 |
| 4.1 | 33.69 | 2.2 | | 33.47 | 1.83 | 33.56 |
| 5 | 33.5 | 1.92 | | 33.71 | 1.55 | 33.62 |
| 5.1 | 33.92 | 1.5 | | 33.83 | 1.14 | 33.87 |
| 6 | 33.72 | 1.99 | | 32.38 | 1.36 | 33.05 |
| 6.1 | 33.83 | 2.18 | | 32.67 | 1.4 | 33.25 |

2 จากการทดสอบโดย two way ANOVA ที่ $\alpha = 0.05$ พบรากดุมรดุมและสถานี
ไม่มีผลต่อความเค็มของน้ำท่าเล (ภาคผนวก ข)



รูปที่ 3.1 ค่าเฉลี่ยและส่วนเบี่ยงเบนมาตรฐานของอุณหภูมิของน้ำทะเลที่สถานีต่างๆ บริเวณอ่าวป่าตอง

[White Box] มรสุมตะวันออกเฉียงเหนือ (ธันวาคม-เมษายน)

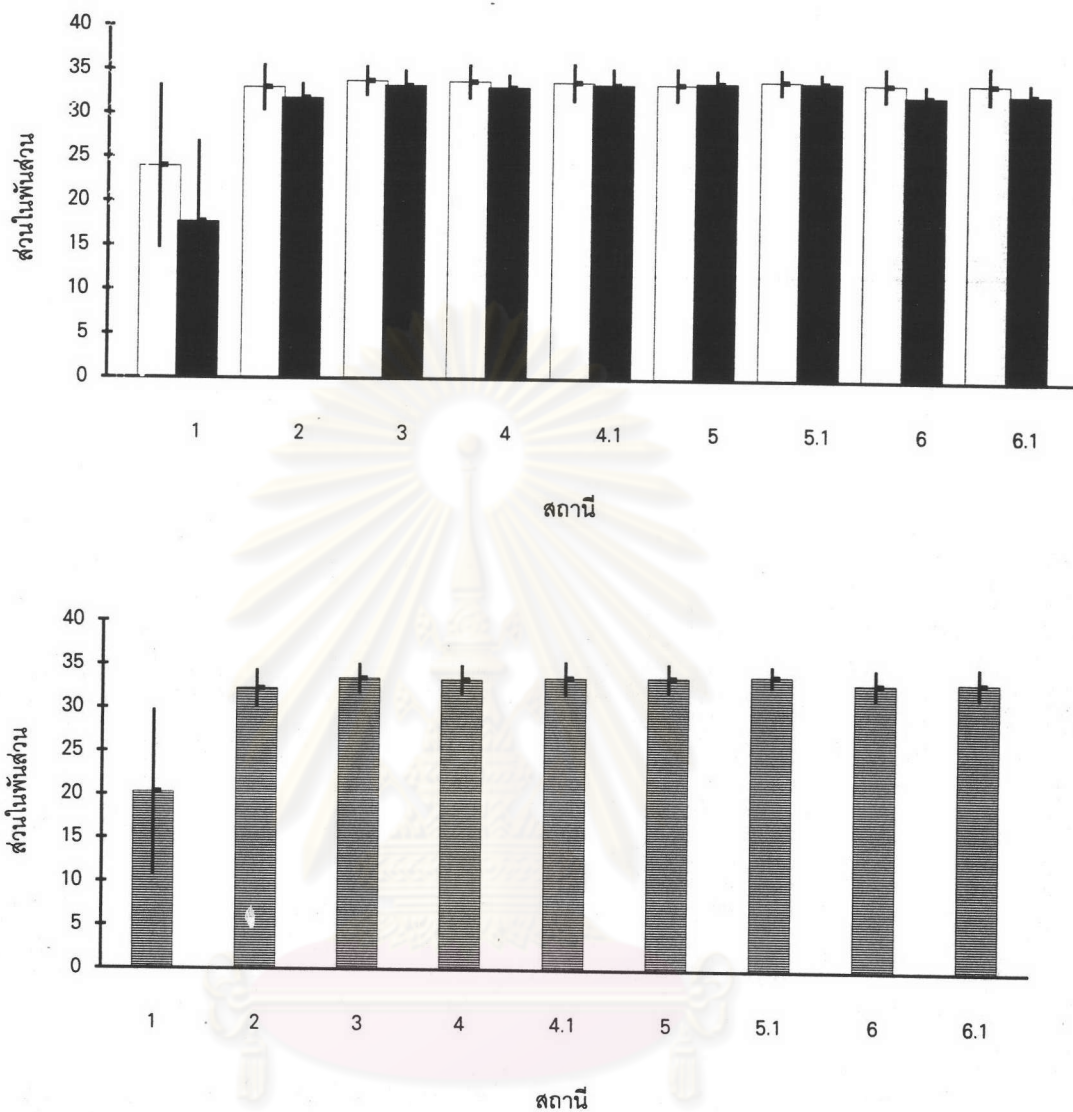
[Black Box] มรสุมตะวันตกเฉียงใต้ (พฤษภาคม-พฤษจิกายน)

[Hatched Box] ตลอดปี

3.1.2 ความคึกคัก จากการศึกษาความคึกคักของน้ำท่าเบริเวนอ่าวป่าตองจะแสดงผลในตารางที่ 3.2 และรูปที่ 3.2 โดยมีความคึกคักอยู่ในช่วง 5.5-37.5 ส่วนในพันส่วน มีค่าเฉลี่ยตลอดเวลาที่ทำการศึกษาอยู่ในช่วง 32.2 ถึง 33.9 ส่วนในพันส่วน เมื่อพิจารณาแยกตามฤดูมรสุมพบว่าในฤดูมรสุม ตะวันออกเฉียงเหนือความคึกคักของน้ำท่าเลอยู่ในช่วง 32.9 ถึง 33.9 ส่วนในพันส่วน และในฤดูมรสุม ตะวันตกเฉียงใต้จะมีค่าอยู่ในช่วง 31.7 ถึง 33.8 ส่วนในพันส่วน แต่ในสถานีที่ 1 ซึ่งเป็นบริเวณที่มีน้ำทิ้งจากโรงงานบำบัดน้ำเสียและน้ำฝนจากชุมชนอ่าวป่าตองในหลังสูทะเลจะมีการเปลี่ยนแปลงความคึกคักอย่างมาก คือความคึกคักอยู่ในช่วง 5.5-37.5 ส่วนในพันส่วน มีค่าเฉลี่ยตลอดเวลาที่ทำการศึกษาเท่ากับ 20.2 ส่วนในพันส่วน โดยในฤดูมรสุมตะวันออกเฉียงเหนือจะมีค่าเฉลี่ยเท่ากับ 23.9 ส่วนในพันส่วน และในฤดูมรสุมตะวันตกเฉียงใต้จะมีค่าเฉลี่ยเท่ากับ 17.7 ส่วนในพันส่วน อย่างไรก็ตามจากการทดสอบทางสถิติพบว่าความคึกคักของน้ำท่าเลที่สถานีต่างๆ มีค่าไม่แตกต่างกันในช่วงมรสุมเดียวกันและที่สถานีเดียวกันจะไม่มีความแตกต่างของความคึกคักในแต่ละฤดูมรสุม

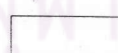
3.1.3 ความโปร่งแสง ความโปร่งแสงของน้ำท่าเบริเวนอ่าวป่าตองจะมีค่าแตกต่างกันไปตามสถานีและฤดูกาล ดังแสดงในตารางที่ 3.3 และรูปที่ 3.3 โดยจะมีค่าอยู่ในช่วง 1.5-16 เมตร มีค่าเฉลี่ยตลอดเวลาที่ทำการศึกษาอยู่ในช่วง 5.1 ถึง 11.5 เมตร เมื่อพิจารณาแยกตามฤดูมรสุมพบว่าช่วงมรสุมตะวันออกเฉียงเหนือจะมีค่าอยู่ในช่วง 7.1 ถึง 12.8 เมตร ส่วนช่วงมรสุมตะวันตกเฉียงใต้จะมีค่าอยู่ในช่วง 3.9 ถึง 10.3 เมตร และสถานีที่ 2 จะมีความโปร่งแสงต่ำเมื่อเทียบกับสถานีอื่นๆ อย่างไรก็ตามจากการทดสอบทางสถิติพบว่าความโปร่งแสงของน้ำท่าเลที่สถานีต่างๆ มีค่าไม่แตกต่างกันในช่วงมรสุมเดียวกันและที่สถานีเดียวกันจะไม่มีความแตกต่างของความโปร่งแสงของน้ำท่าเลในแต่ละฤดูมรสุม

3.1.4 ความเป็นกรดด่าง การศึกษาความเป็นกรดด่างของน้ำท่าเบริเวนอ่าวป่าตองจะแสดงผลดังตารางที่ 3.4 และรูปที่ 3.4 พบร้าค่าความเป็นกรดด่างของน้ำท่าเลจะมีค่าอยู่ในช่วง 7.2-9 โดยมีค่าเฉลี่ยตลอดเวลาที่ทำการศึกษาอยู่ในช่วง 7.7 ถึง 8.3 เมื่อแยกพิจารณาตามมรสุมจะพบว่าในช่วงมรสุมตะวันออกเฉียงใต้จะมีค่าความเป็นกรดด่างของน้ำท่าเลอยู่ในช่วง 7.8 ถึง 8.7 และช่วงมรสุมตะวันตกเฉียงใต้จะมีค่าอยู่ในช่วง 7.8 ถึง 8.7 โดยสถานีที่ 1 จะมีค่าต่ำกว่าต่ำเมื่อเทียบกับสถานีอื่นๆ แต่จากการทดสอบทางสถิติพบว่าความเป็นกรดด่างของน้ำท่าเลที่สถานีต่างๆ มีค่าไม่แตกต่างกันในช่วงมรสุมเดียวกัน และที่สถานีเดียวกันจะไม่มีความแตกต่างของค่าดังกล่าวในแต่ละฤดูมรสุม

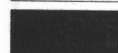


รูปที่ 3.2 ค่าเฉลี่ยและส่วนเบี่ยงเบนมาตรฐานของความเค็มในน้ำทะเลที่สถานีต่างๆ

บริเวณอ่าวป่าตอง



นรสุนตะวันออกเฉียงเหนือ (ธันวาคม-เมษายน)



นรสุนตะวันตกเฉียงใต้ (พฤษภาคม-พฤษจิกายน)



ตลอดปี

ตารางที่ 3.3 ค่าเฉลี่ยและส่วนเบี่ยงเบนมาตรฐานของความโปรดแห่งน้ำทະเล
ที่สถานีต่างๆบริเวณอ่าวป่าตอง (หน่วยเป็นเมตร) ³

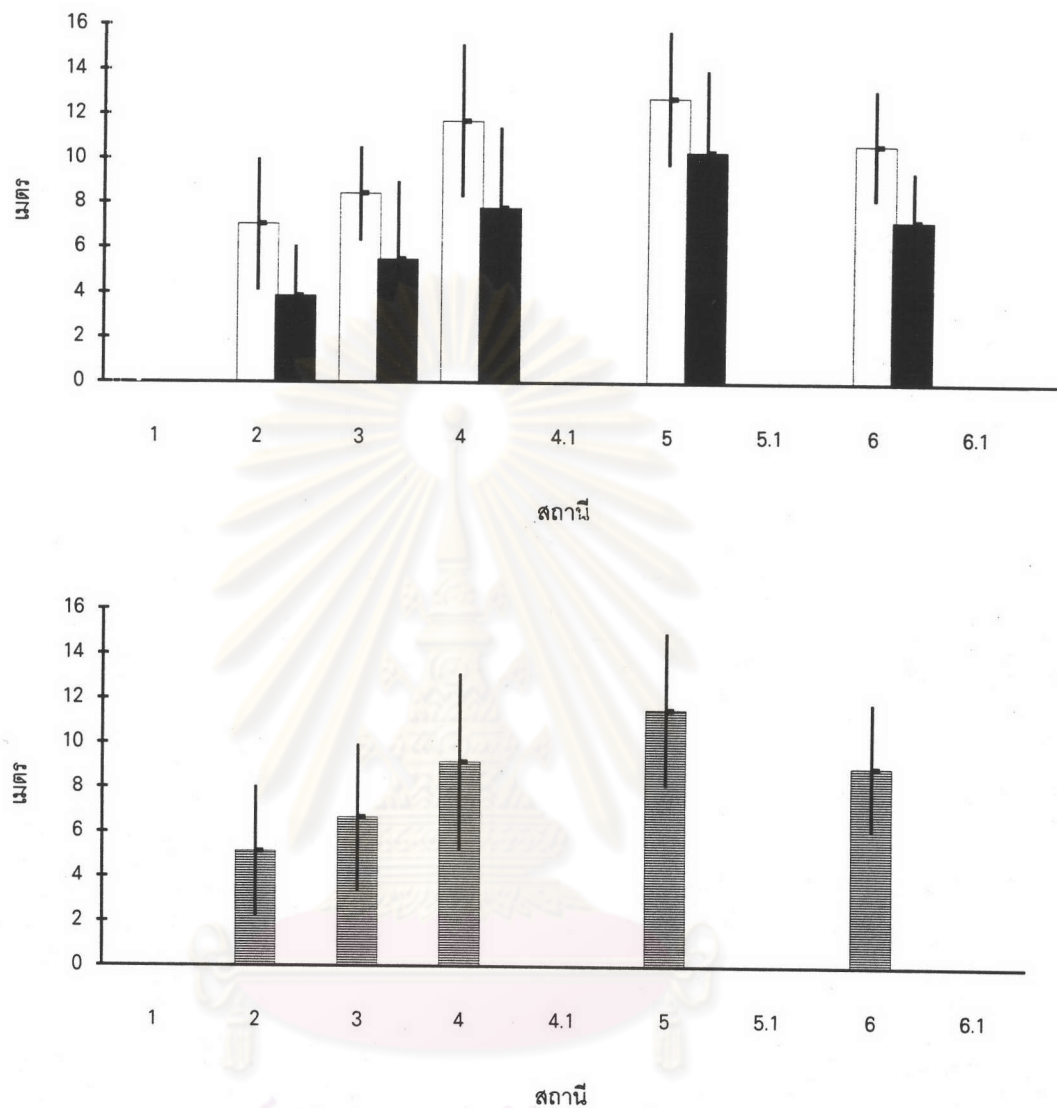
| สถานีที่ | มรดุมตะวันออกเฉียงเหนือ (ธ.ค.-เม.ย.) | | มรดุมตะวันตกเฉียงใต้ (พ.ค.-พ.ย.) | | ตลอดปี | |
|----------|---|------|-------------------------------------|------|--------|------|
| | MEAN | SD | MEAN | SD | MEAN | SD |
| 1 | - | - | - | - | - | - |
| 2 | 7.05 | 2.94 | 3.87 | 2.19 | 5.14 | 2.9 |
| 3 | 8.42 | 2.11 | 5.49 | 3.5 | 6.66 | 3.29 |
| 4 | 11.7 | 3.42 | 7.78 | 3.64 | 9.18 | 3.95 |
| 5 | 12.75 | 3 | 10.33 | 3.67 | 11.54 | 3.43 |
| 6 | 10.67 | 2.48 | 7.25 | 2.23 | 8.96 | 2.87 |

³ จากการทดสอบโดย two way ANOVA ที่ $\alpha = 0.05$ พบรากดูมรดุมและสถานี
ไม่มีผลต่อกลางความโปรดแห่งน้ำทະเล (ภาคผนวก ข)

ตารางที่ 3.4 ค่าเฉลี่ยและส่วนเบี่ยงเบนมาตรฐานของความเป็นกรดด่างของน้ำทະเล
ที่สถานีต่างๆบริเวณอ่าวป่าตอง ⁴

| สถานีที่ | มรดุมตะวันออกเฉียงเหนือ (ธ.ค.-เม.ย.) | | มรดุมตะวันตกเฉียงใต้ (พ.ค.-พ.ย.) | | ตลอดปี | |
|----------|---|------|-------------------------------------|------|--------|------|
| | MEAN | SD | MEAN | SD | MEAN | SD |
| 1 | 7.7 | 0.45 | 7.83 | 0.43 | 7.75 | 0.43 |
| 2 | 8.2 | 0.12 | 8.43 | 0.43 | 8.28 | 0.28 |
| 3 | 8.2 | 0.12 | 8.48 | 0.29 | 8.3 | 0.23 |
| 4 | 8.21 | 0.11 | 8.5 | 0.34 | 8.32 | 0.25 |
| 4.1 | 8.23 | 0.11 | 8.58 | 0.39 | 8.35 | 0.29 |
| 5 | 8.28 | 0.15 | 8.67 | 0.15 | 8.41 | 0.24 |
| 5.1 | 8.22 | 0.17 | 8.7 | 0.2 | 8.38 | 0.29 |
| 6 | 8.23 | 0.14 | 8.6 | 0 | 8.33 | 0.21 |
| 6.1 | 8.25 | 0.14 | 8.7 | 0.28 | 8.36 | 0.26 |

⁴ จากการทดสอบโดย two way ANOVA ที่ $\alpha = 0.05$ พบรากดูมรดุมและสถานี
ไม่มีผลต่อกลางความเป็นกรดด่างของน้ำทະเล (ภาคผนวก ข)

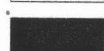


รูปที่ 3.3 ค่าเฉลี่ยและส่วนเบี่ยงเบนมาตรฐานของความโปรดังไสของน้ำทรายที่สถานีต่างๆ

บริเวณอ่าวปากของ



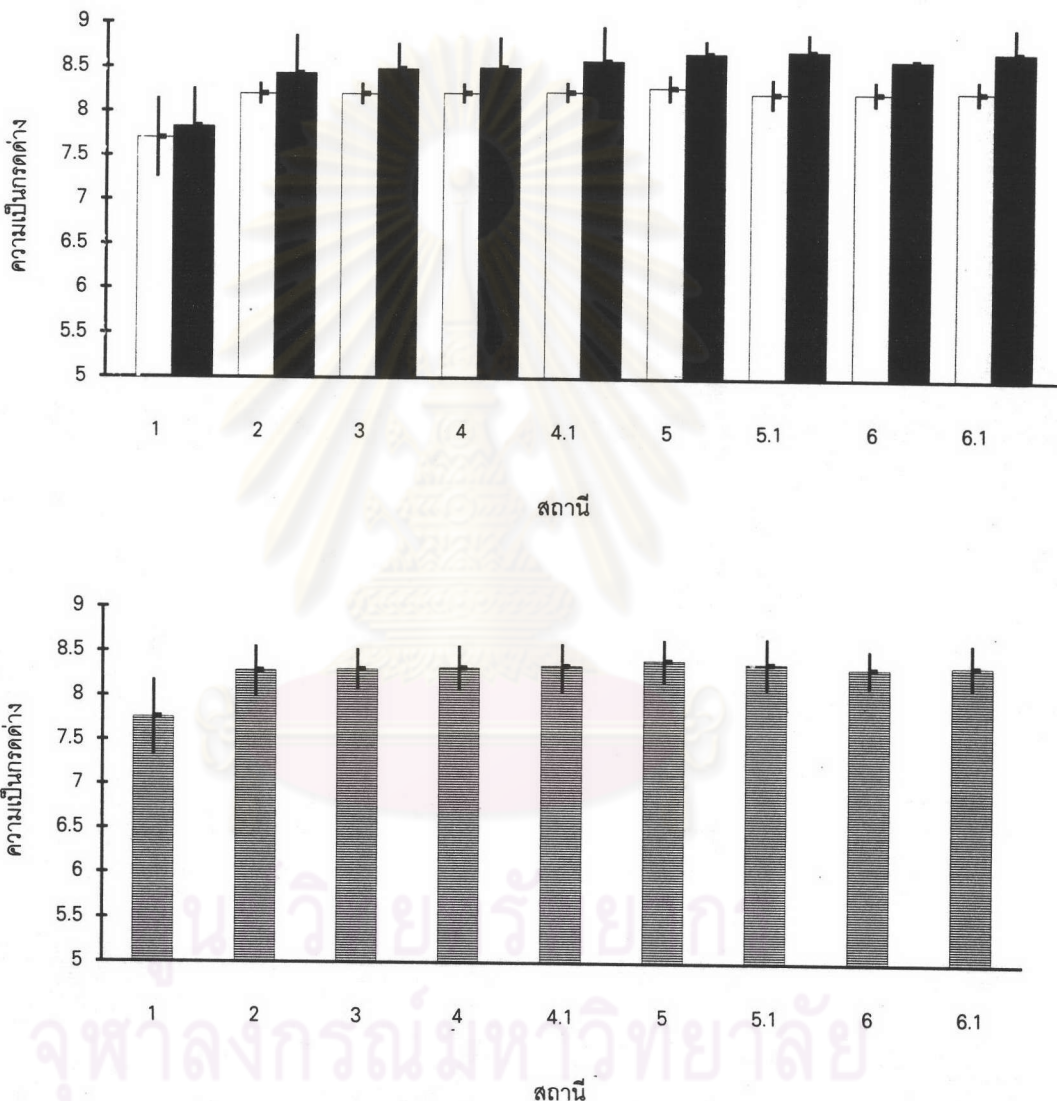
แม่น้ำตะวันออกเจียงเหนือ (ธันวาคม-เมษายน)



แม่น้ำตะวันตกเจียงใต้ (พฤษภาคม-พฤษจิกายน)



ค่าเฉลี่ยตลอดปี



รูปที่ 3.4 ค่าเฉลี่ยและส่วนเบี่ยงเบนมาตรฐานของค่าความเป็นกรดด่างของน้ำทะเล
ที่สถานีต่างๆบริเวณอ่าวป่าตอง

[White Box] มวลุ่มตะวันออกเจียงเหนือ (ธันวาคม-เมษายน)

[Black Box] มวลุ่มตะวันตกเจียงใต้ (พฤษภาคม-พฤษจิกายน)

[Hatched Box] ตลอดปี

3.1.5 ปริมาณออกซิเจนละลายน้ำ จากการศึกษาปริมาณออกซิเจนละลายในน้ำทะเลบริเวณอ่าวป่าตอง ซึ่งแสดงผลดังตารางที่ 3.5 และรูปที่ 3.5 พบว่าสถานีที่ 1 จะมีปริมาณออกซิเจนค่อนข้างต่ำเมื่อเทียบกับสถานีอื่นๆคือมีค่าอยู่ในช่วง 1.4-5.9 มิลลิกรัมต่อลิตร มีค่าเฉลี่ยตลอดระยะเวลาที่ทำการศึกษาเท่ากับ 3.3 มิลลิกรัมต่อลิตร เมื่อแยกพิจารณาตามมรสุมจะพบว่ามีค่าแตกต่างกันไม่มากนักคือในช่วงมรสุมตะวันออกเฉียงเหนือจะมีค่าอยู่ในช่วง 3.1 มิลลิกรัมต่อลิตร ช่วงมรสุมตะวันตกเฉียงใต้จะมีค่า 3.4 มิลลิกรัมต่อลิตร ส่วนสถานีอื่นๆจะมีค่าอยู่ในช่วง 4.0-7.2 มิลลิกรัมต่อลิตร มีค่าเฉลี่ยตลอดเวลาทำการศึกษาอยู่ในช่วง 4.8-5.3 มิลลิกรัมต่อลิตร ในช่วงมรสุมตะวันออกเฉียงเหนือจะมีค่าอยู่ในช่วง 4.5 ถึง 5.2 มิลลิกรัมต่อลิตร ส่วนช่วงมรสุมตะวันตกเฉียงใต้จะมีค่าอยู่ในช่วง 5.1 ถึง 5.7 มิลลิกรัมต่อลิตร และพบว่าปริมาณออกซิเจนในน้ำทะเลที่สถานีต่างๆมีค่าไม่แตกต่างกันในช่วงมรสุมเดียวกันและที่สถานีเดียวกันจะไม่มีความแตกต่างของค่าดังกล่าวในแต่ละฤดูมรสุม

3.1.6 ปริมาณแอมโมเนีย-ในไตรเจน จากการศึกษาปริมาณแอมโมเนีย-ในไตรเจนในน้ำทะเลบริเวณอ่าวป่าตอง ซึ่งแสดงผลดังตารางที่ 3.6 และรูปที่ 3.6 พบว่าสถานีที่ 1 มีปริมาณแอมโมเนียสูงกว่าสถานีอื่นๆค่อนข้างมากคือมีค่าอยู่ในช่วง 1.60-83.20 ไมโครกรัมอะตอมในไตรเจนต่อลิตร มีค่าเฉลี่ยตลอดปีเท่ากับ 35.05 ไมโครกรัมอะตอมต่อลิตร เมื่อแยกพิจารณาตามฤดูมรสุมพบว่าในช่วงมรสุมตะวันออกเฉียงเหนือสถานีที่ 1 จะมีปริมาณแอมโมเนีย-ในไตรเจนเท่ากับ 25.84 ไมโครกรัมอะตอมในไตรเจนต่อลิตร ส่วนช่วงมรสุมตะวันตกเฉียงใต้จะมีค่าเท่ากับ 41.51 ไมโครกรัมอะตอมในไตรเจนต่อลิตร สำหรับสถานีอื่นๆปริมาณแอมโมเนียในน้ำทะเลจะมีค่าอยู่ในช่วงต่ำๆกันไม่สามารถวัดได้ (Non Detectable, ND) จนถึง 14.34 ไมโครกรัมอะตอมในไตรเจนต่อลิตร มีค่าเฉลี่ยตลอดเวลาทำการศึกษาอยู่ในช่วง 0.15 ถึง 1.53 ไมโครกรัมอะตอมในไตรเจนต่อลิตร เมื่อแยกพิจารณาตามฤดูมรสุมพบว่าในช่วงมรสุมตะวันออกเฉียงเหนือจะมีปริมาณแอมโมเนีย-ในไตรเจนอยู่ในช่วง 0.20 ถึง 2.16 ไมโครกรัมอะตอมในไตรเจนต่อลิตร ส่วนช่วงมรสุมตะวันตกเฉียงใต้จะมีค่าอยู่ในช่วง 0.11 ถึง 1.64 ไมโครกรัมอะตอมในไตรเจนต่อลิตร จากการทดสอบความแตกต่างของค่าดังกล่าวพบว่าปริมาณแอมโมเนีย-ในไตรเจนที่สถานีที่ 1 จะมีค่าสูงกว่าสถานีอื่นๆอย่างมีนัยสำคัญยิ่งทางสถิติ และเมื่อแยกพิจารณาตามฤดูมรสุมพบว่าไม่มีความแตกต่างของค่าดังกล่าวที่สถานีเดียวกันในแต่ละฤดูมรสุม

ตารางที่ 3.5 ค่าเฉลี่ยและส่วนเบี่ยงเบนมาตรฐานของปริมาณออกซิเจนละลายน้ำทะเล
ที่สถานีต่างๆบริเวณอ่าวป่าตอง (หน่วยเป็นมิลลิกรัมต่อลิตร) ⁵

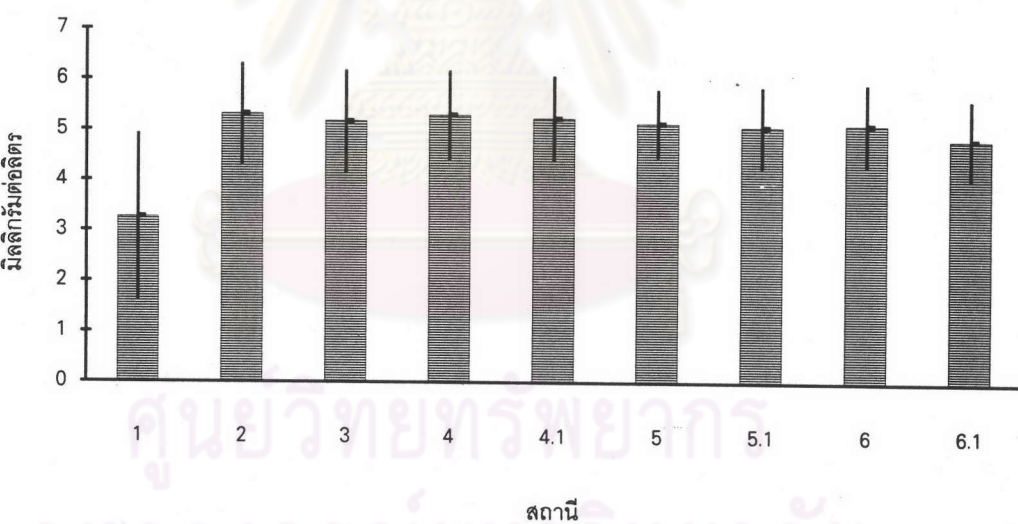
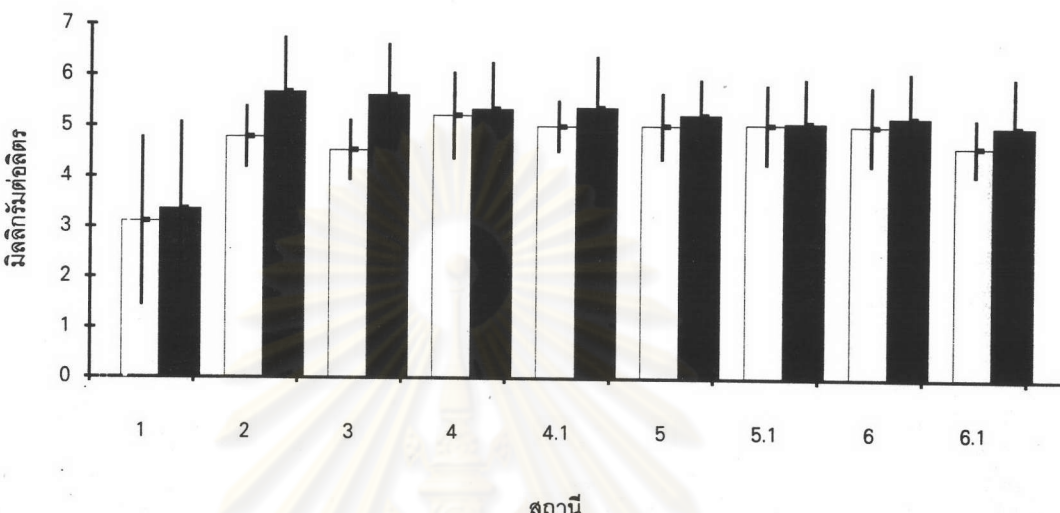
| สถานีที่ | มรดุณตะวันออกเฉียงเหนือ | | มรดุณตะวันตกเฉียงใต้ | | ตลอดปี | |
|----------|-------------------------|------|----------------------|------|--------|------|
| | MEAN | SD | MEAN | SD | MEAN | SD |
| 1 | 3.11 | 1.68 | 3.36 | 1.73 | 3.26 | 1.66 |
| 2 | 4.79 | 0.61 | 5.67 | 1.08 | 5.31 | 1 |
| 3 | 4.53 | 0.6 | 5.61 | 1.01 | 5.17 | 1.01 |
| 4 | 5.21 | 0.86 | 5.34 | 0.93 | 5.29 | 0.88 |
| 4.1 | 5.01 | 0.51 | 5.38 | 1.01 | 5.23 | 0.84 |
| 5 | 5.02 | 0.66 | 5.24 | 0.7 | 5.14 | 0.67 |
| 5.1 | 5.05 | 0.79 | 5.09 | 0.87 | 5.07 | 0.8 |
| 6 | 5.03 | 0.79 | 5.2 | 0.89 | 5.12 | 0.81 |
| 6.1 | 4.62 | 0.57 | 5.03 | 0.97 | 4.83 | 0.79 |

⁵ จากการทดสอบโดย two way ANOVA ที่ $\alpha = 0.05$ พบรากดูมรดุณและสถานี
ไม่มีผลต่อปริมาณออกซิเจนละลายน้ำทะเล (ภาคผนวก ข)

ตารางที่ 3.6 ค่าเฉลี่ยและส่วนเบี่ยงเบนมาตรฐานของปริมาณแอมโมเนียมในน้ำ-ในตอรเจนในน้ำทะเล
ที่สถานีต่างๆบริเวณอ่าวป่าตอง (หน่วยเป็นไมโครกรัมอะตอมในตอรเจนต่อลิตร) ⁶

| สถานีที่ | มรดุณตะวันออกเฉียงเหนือ | | มรดุณตะวันตกเฉียงใต้ | | ตลอดปี | |
|----------|-------------------------|-------|----------------------|-------|--------|-------|
| | MEAN | SD | MEAN | SD | MEAN | SD |
| 1 | 25.84 | 20.76 | 41.51 | 29.09 | 35.05 | 26.47 |
| 2 | 1.38 | 1.48 | 1.64 | 4.47 | 1.53 | 3.48 |
| 3 | 2.16 | 2.99 | 0.68 | 1.56 | 1.29 | 2.3 |
| 4 | 0.36 | 0.52 | 0.25 | 0.33 | 0.3 | 0.41 |
| 4.1 | 0.51 | 0.65 | 0.34 | 0.44 | 0.41 | 0.53 |
| 5 | 0.2 | 0.3 | 0.11 | 0.13 | 0.15 | 0.22 |
| 5.1 | 0.52 | 0.63 | 0.22 | 0.23 | 0.36 | 0.47 |
| 6 | 0.41 | 0.56 | 0.13 | 0.18 | 0.27 | 0.42 |
| 6.1 | 0.5 | 0.65 | 0.49 | 0.65 | 0.495 | 0.618 |

⁶ จากการทดสอบโดย two way ANOVA ที่ $\alpha = 0.05$ พบรากดูมรดุณและสถานี
ไม่ตอรเจนในน้ำทะเลบริเวณอ่าวป่าตอง (ภาคผนวก ข และดูรายละเอียดในข้อ 3.1.6)



รูปที่ 3.5 ค่าเฉลี่ยและส่วนเบี่ยงเบนมาตรฐานของปริมาณออกซิเจนที่ละลายในน้ำทะเล
ที่สถานีต่างๆบริเวณอ่าวป่าตอง



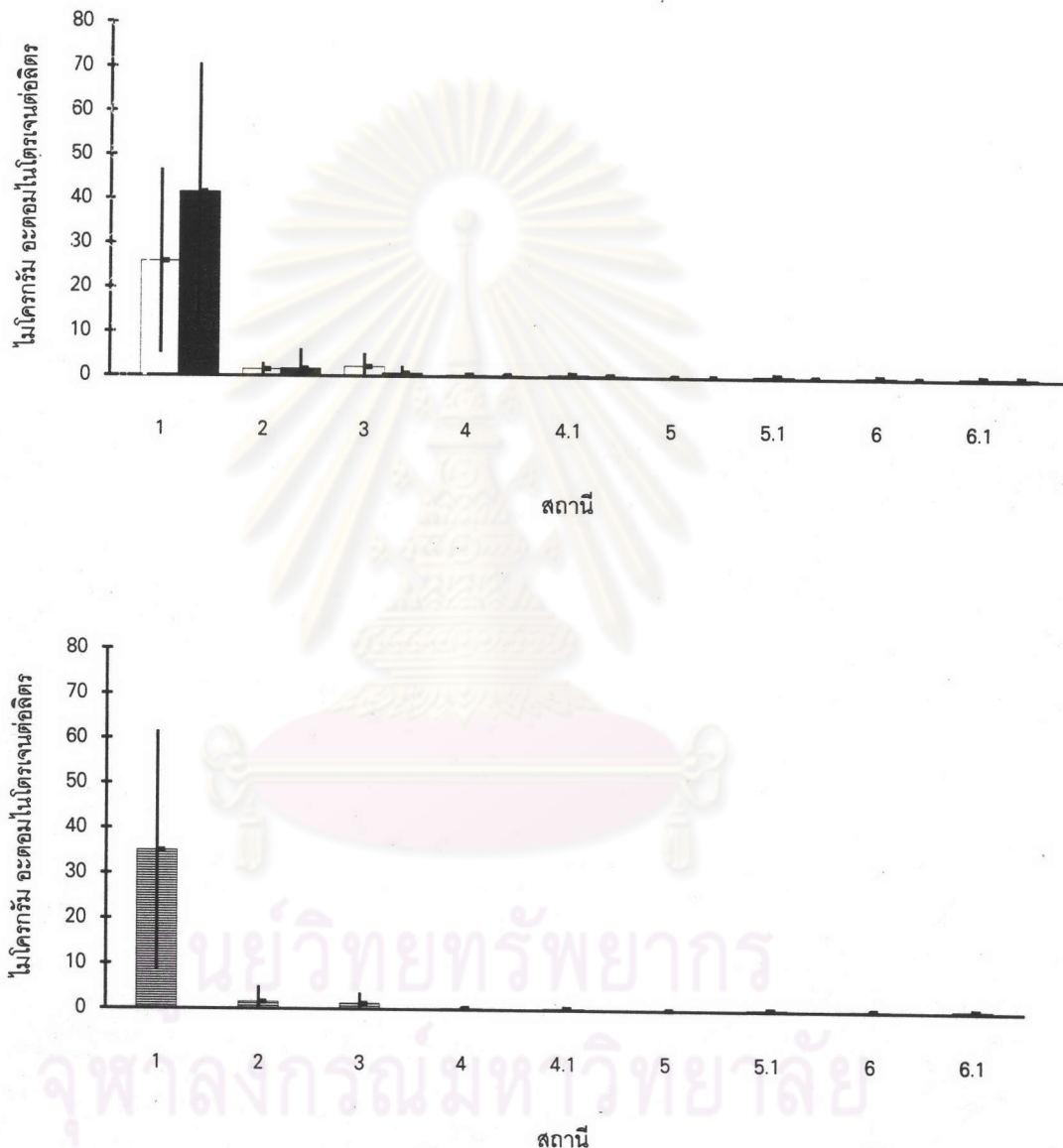
มรสุมตะวันออกเฉียงเหนือ (ธันวาคม-เมษายน)



มรสุมตะวันตกเฉียงใต้ (พฤษภาคม-พฤษจิกายน)



ตลอดปี



รูปที่ 3.6 ค่าเฉลี่ยและส่วนเบี่ยงเบนมาตรฐานของแอมโมเนีย-ไนโตรเจนในน้ำทะเล
ที่สถานีต่างๆ บริเวณอ่าวภาคตะวันออก

- ไม่ติดกันยกเว้นไม่ติดกันทั้งลิขิต (ธันวาคม-เมษายน)
- ติดกันยกเว้นไม่ติดกันทั้งลิขิต (พฤษภาคม-พฤษจิกายน)
- ตลอดปี

ตารางที่ 3.7 ค่าเฉลี่ยและส่วนเบี่ยงเบนมาตรฐานของปริมาณในเตราท์-ไนโตรเจนในน้ำทะเล
ที่สถานีต่างๆบริเวณอ่าวป่าตอง (หน่วยเป็นไมโครกรัมอะตอมในต่ำรูปน้ำ) ⁷

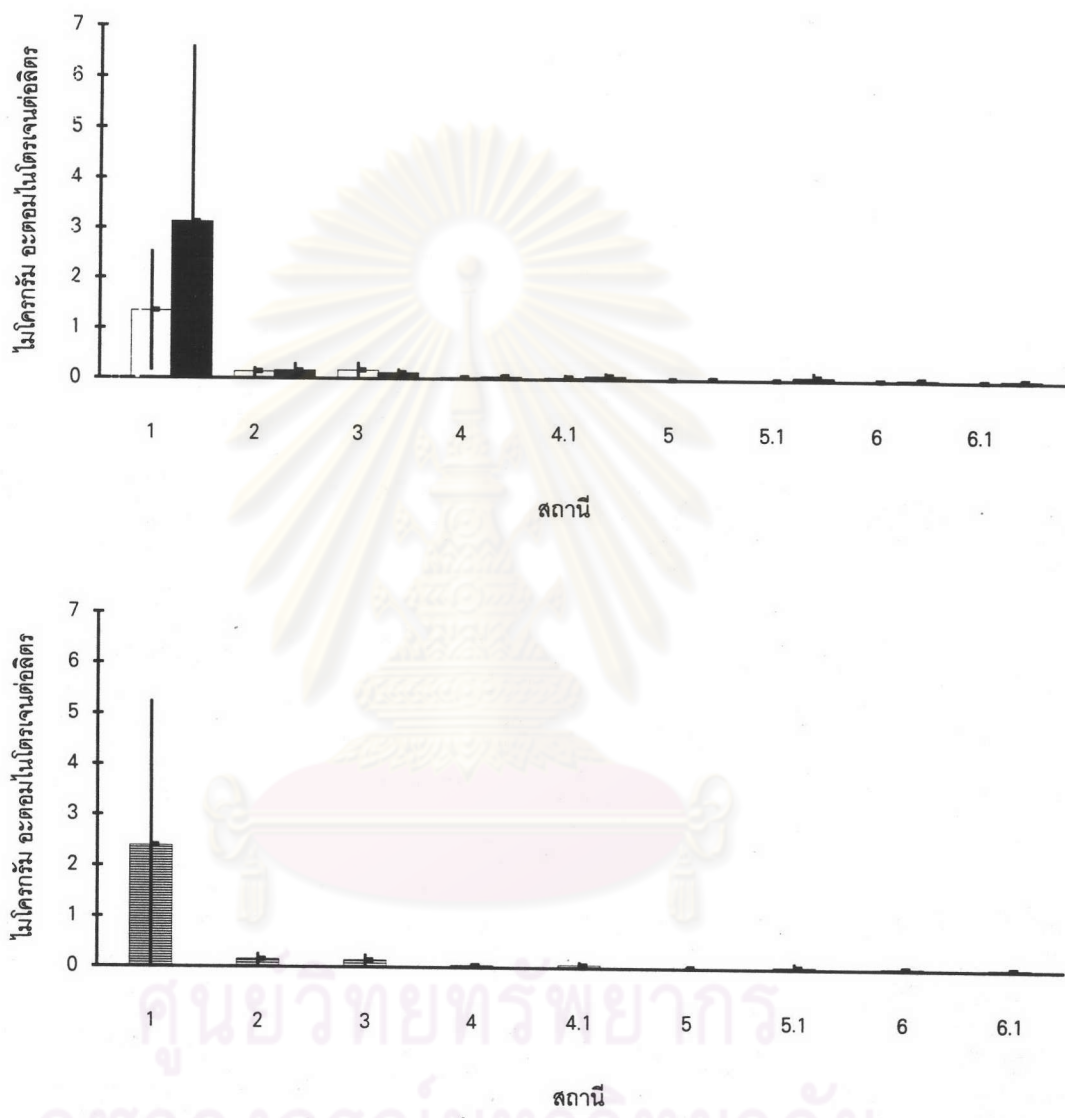
| สถานีที่ | มรดุมตะวันออกเฉียงเหนือ (ธ.ค.-เม.ย.) | | มรดุมตะวันตกเฉียงใต้ (พ.ค.-พ.ย.) | | ตลอดปี | |
|----------|---|------|-------------------------------------|------|--------|------|
| | MEAN | SD | MEAN | SD | MEAN | SD |
| 1 | 1.34 | 1.2 | 3.12 | 3.48 | 2.39 | 2.86 |
| 2 | 0.13 | 0.08 | 0.16 | 0.15 | 0.15 | 0.12 |
| 3 | 0.17 | 0.16 | 0.13 | 0.07 | 0.14 | 0.12 |
| 4 | 0.04 | 0.03 | 0.05 | 0.04 | 0.05 | 0.03 |
| 4.1 | 0.04 | 0.06 | 0.07 | 0.07 | 0.06 | 0.07 |
| 5 | 0.01 | 0.02 | 0.02 | 0.04 | 0.02 | 0.03 |
| 5.1 | 0.01 | 0.02 | 0.07 | 0.1 | 0.05 | 0.08 |
| 6 | 0.02 | 0.04 | 0.04 | 0.03 | 0.03 | 0.04 |
| 6.1 | 0.02 | 0.04 | 0.05 | 0.03 | 0.03 | 0.04 |

⁷ จากการทดสอบโดย two way ANOVA ที่ $\alpha = 0.05$ พบรากานีมีผลตอบรับปริมาณในเตราท์-ไนโตรเจนในน้ำทะเลบริเวณอ่าวป่าตอง (ภาคผนวก ข และดูรายละเอียดในข้อ 3.1.7)

ตารางที่ 3.8 ค่าเฉลี่ยและส่วนเบี่ยงเบนมาตรฐานของปริมาณในเตราท์-ไนโตรเจนในน้ำทะเล
ที่สถานีต่างๆบริเวณอ่าวป่าตอง (หน่วยเป็นไมโครกรัมอะตอมในต่ำรูปน้ำ) ⁸

| สถานีที่ | มรดุมตะวันออกเฉียงเหนือ (ธ.ค.-เม.ย.) | | มรดุมตะวันตกเฉียงใต้ (พ.ค.-พ.ย.) | | ตลอดปี | |
|----------|---|------|-------------------------------------|------|--------|------|
| | MEAN | SD | MEAN | SD | MEAN | SD |
| 1 | 4.38 | 4.66 | 4.91 | 4.36 | 4.69 | 4.35 |
| 2 | 0.79 | 0.6 | 0.9 | 0.6 | 0.85 | 0.59 |
| 3 | 1.46 | 0.89 | 1.59 | 0.77 | 1.53 | 0.79 |
| 4 | 0.12 | 0.14 | 0.45 | 0.5 | 0.32 | 0.42 |
| 4.1 | 0.22 | 0.21 | 0.54 | 0.78 | 0.41 | 0.62 |
| 5 | 0.14 | 0.24 | 0.03 | 0.03 | 0.08 | 0.17 |
| 5.1 | 0.14 | 0.26 | 0.16 | 0.2 | 0.15 | 0.22 |
| 6 | 0.17 | 0.27 | 0.71 | 0.63 | 0.44 | 0.54 |
| 6.1 | 0.22 | 0.23 | 0.75 | 0.51 | 0.48 | 0.47 |

⁸ จากการทดสอบโดย two way ANOVA ที่ $\alpha = 0.05$ พบรากานีมีผลตอบรับปริมาณในเตราท์-ไนโตรเจนในน้ำทะเลบริเวณอ่าวป่าตอง (ภาคผนวก ข และดูรายละเอียดในข้อ 3.1.8)

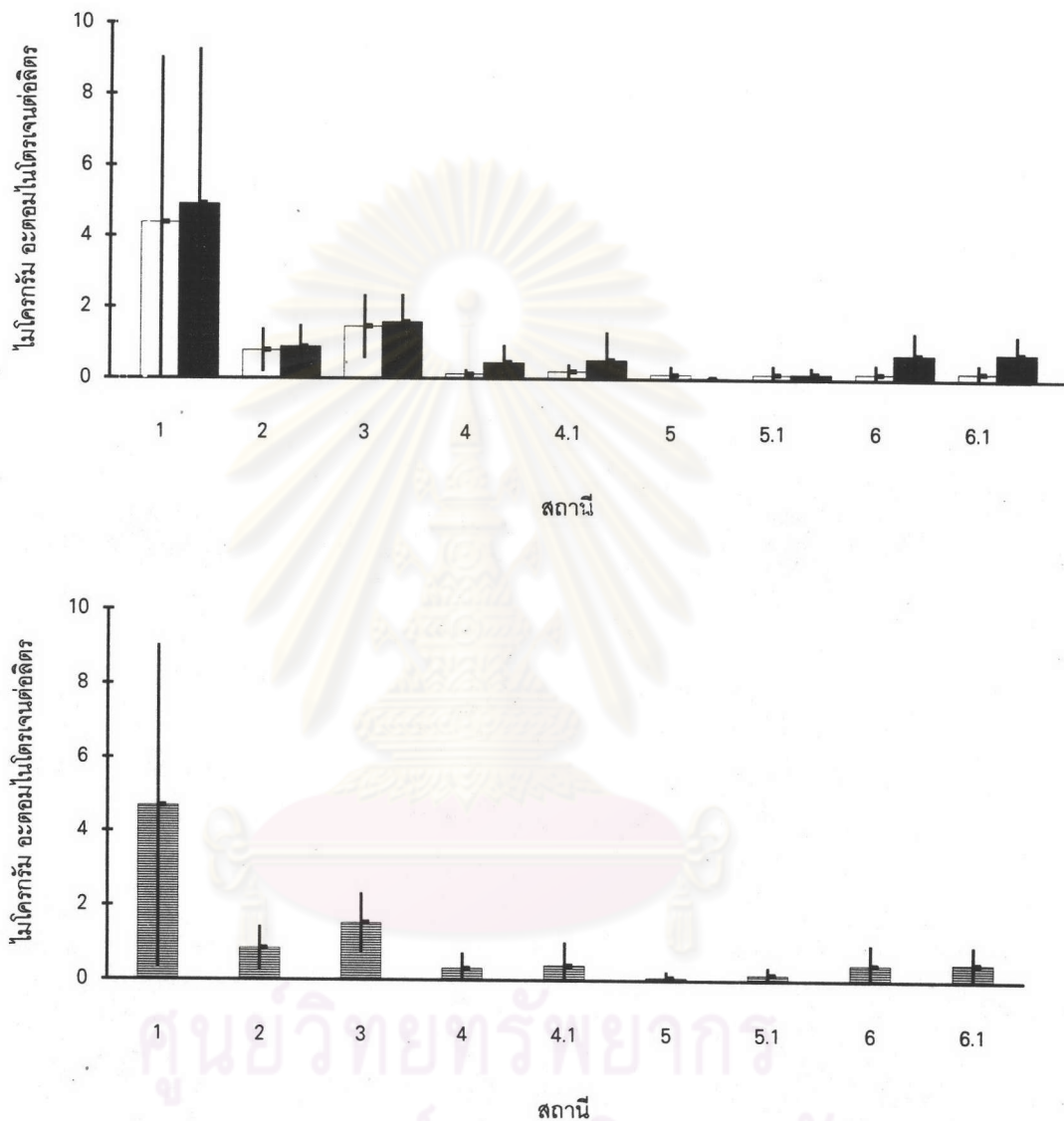


รูปที่ 3.7 ค่าเฉลี่ยและส่วนเบี่ยงเบนมาตรฐานของในเตอร์-ไนเตอร์เจนในน้ำทະເລ
ທີ່ສຕານີຕ່າງໆບວດເກມອ່າວປາຕອນ

- ມຽມຕະວັນອອກເຈີ້ງເໜືອ (ຮັນວາຄມ-ເນ້າຍນ)
- ມຽມຕະວັນຕົກເຈີ້ງໄດ້ (ພຸ່ນວາຄມ-ພຸ່ນຈິກາຍນ)
- ດລວດປີ

3.1.8 ปริมาณในเขต-ในต่อเจน จากการศึกษาปริมาณในเขต-ในต่อเจนในน้ำทะเลบริเวณอ่าวป่าตอง ซึ่งแสดงผลดังตารางที่ 3.8 และรูปที่ 3.8 จะพบแนวโน้มผลการศึกษาเข่นเดียวกับการศึกษาปริมาณในต่อที่คือจะพบว่าสถานีที่ 1 มีปริมาณในเขตสูงกว่าสถานีอื่นๆ ค่อนข้างมาก โดยมีค่าอยู่ในช่วง 0.106-12.631 ไม่ครึ่งรัมอะตอมในต่อเจนต่อลิตร มีค่าเฉลี่ยตลอดปีเท่ากับ 4.69 ไม่ครึ่งรัมอะตอมต่อลิตร เมื่อแยกพิจารณาตามฤดูมรสุมพบว่าในช่วงมรสุมตะวันออกเฉียงเหนือที่สถานีที่ 1 จะมีปริมาณในเขต-ในต่อเจนเฉลี่ยเท่ากับ 4.38 ไม่ครึ่งรัมอะตอมในต่อเจนต่อลิตร ส่วนช่วงมรสุมตะวันตกเฉียงใต้จะมีค่าเท่ากับ 4.91 ไม่ครึ่งรัมอะตอมในต่อเจนต่อลิตร สำหรับสถานีอื่นๆ ปริมาณในเขตในน้ำทะเลจะมีค่าอยู่ในช่วงต่ำมากจนไม่สามารถวัดได้ (Non Detectable, ND) จนถึง 2.862 ไม่ครึ่งรัมอะตอมในต่อเจนต่อลิตร มีค่าเฉลี่ยตลอดเวลาที่ทำการศึกษาอยู่ในช่วง 0.08 ถึง 1.53 ไม่ครึ่งรัมอะตอมในต่อเจนต่อลิตร ช่วงมรสุมตะวันออกเฉียงเหนือสถานีเหล่านี้จะมีปริมาณในเขต-ในต่อเจนอยู่ในช่วง 0.12 ถึง 1.46 ไม่ครึ่งรัมอะตอมในต่อเจนต่อลิตร ส่วนช่วงมรสุมตะวันตกเฉียงใต้จะมีค่าอยู่ในช่วง 0.03 ถึง 1.59 ไม่ครึ่งรัมอะตอมในต่อเจนต่อลิตร จะเห็นว่าปริมาณในเขต-ในต่อเจนที่สถานีที่ 1 จะมีค่าสูงกว่าสถานีอื่นๆ ค่อนข้างมาก และจากการทดสอบความแตกต่างของค่าดังกล่าวในแต่ละสถานีที่ทำการศึกษาในฤดูมรสุมตะวันตกเฉียงใต้และมรสุมตะวันออกเฉียงเหนือ พบร่วมกันในเขต-ในต่อเจนที่สถานีต่างๆ มีค่าแตกต่างกันอย่างมีนัยสำคัญยิ่งทางสถิติในช่วงมรสุมเดียวกัน แต่จะไม่มีความแตกต่างของค่าดังกล่าวที่สถานีเดียวกันในแต่ละฤดูมรสุม และสามารถแบ่งกลุ่มสถานีที่ทำการศึกษาออกตามปริมาณในเขตได้เป็น 3 กลุ่ม ได้แก่กลุ่มที่ 1 คือสถานีที่ 1 จะมีปริมาณในเขตมากที่สุดโดยมีค่าเฉลี่ยเท่ากับ 4.69 ไม่ครึ่งรัมอะตอมในต่อเจนต่อลิตร กลุ่มที่ 2 คือสถานีที่ 2 และ 3 มีปริมาณในเขตต่ำกว่าสถานีที่ 1 แต่มีค่าดังกล่าวสูงกว่าสถานีที่ 4, 5 และ 6 อย่างมีนัยสำคัญยิ่งทางสถิติ คือมีค่าเฉลี่ยอยู่ในช่วง 0.85-1.53 ไม่ครึ่งรัมอะตอมในต่อเจนต่อลิตร กลุ่มที่ 3 คือสถานีที่ 4, 5 และ 6 จะมีปริมาณในเขตค่อนข้างต่ำ คือมีค่าเฉลี่ยอยู่ในช่วง 0.08-0.48 ไม่ครึ่งรัมอะตอมในต่อเจนต่อลิตร

จุฬาลงกรณ์มหาวิทยาลัย



รูปที่ 3.8 ค่าเฉลี่ยและส่วนเบี่ยงเบนมาตรฐานของปริมาณในเดือน-ในตรีเจนในน้ำทะเล
ที่สถานีต่างๆ บริเวณอ่าวป่าตอง

- มวลุ่มตะวันออกเนียงเหนือ (ธันวาคม-เมษายน)
- มวลุ่มตะวันตกเนียงใต้ (พฤษภาคม-พฤษจิกายน)
- ตลอดปี

3.1.9 ปริมาณฟอสเฟต-ฟอสฟอรัส จากการศึกษาปริมาณฟอสเฟต-ฟอสฟอรัสในน้ำทะเลบริเวณอ่าวป่าตองซึ่งแสดงผลดังตารางที่ 3.9 และรูปที่ 3.9 จะพบแนวโน้มผลการศึกษา เช่นเดียวกับการศึกษาปริมาณธาตุอาหารในน้ำชานิดอื่นๆ คือจะพบว่าสถานีที่ 1 มีปริมาณฟอสเฟตสูงกว่าสถานีอื่นๆ ค่อนข้างมาก โดยมีค่าอยู่ในช่วง 0.206-18.01 ไมโครกรัมอะตอมฟอสฟอรัสต่อลิตร มีค่าเฉลี่ยตลอดปีเท่ากับ 5.55 ไมโครกรัมอะตอมต่อลิตร เมื่อแยกพิจารณาตามถดມรสูมพบว่า ในช่วงมรสูมตะวันออกเฉียงเหนือ สถานีที่ 1 จะมีปริมาณฟอสเฟต-ฟอสฟอรัสเท่ากับ 6.82 ไมโครกรัมอะตอมในโครงเขตต่อลิตร ส่วนช่วงมรสูมตะวันตกเฉียงใต้จะมีค่าเท่ากับ 4.67 ไมโครกรัมอะตอมฟอสฟอรัสต่อลิตร สำหรับสถานีอื่นๆ ปริมาณฟอสฟอรัสในน้ำทะเลจะมีค่าอยู่ในช่วงต่ำๆ มากจนไม่สามารถวัดได้ (Non Detectable, ND) จำนวน 2.95 ไมโครกรัมอะตอมฟอสฟอรัสต่อลิตร มีค่าเฉลี่ยตลอดเวลาที่ทำการศึกษาอยู่ในช่วง 0.20 ถึง 0.36 ไมโครกรัมอะตอมฟอสฟอรัสต่อลิตร ช่วงมรสูมตะวันออกเฉียงเหนือจะมีค่าอยู่ในช่วง 0.32 ถึง 0.60 ไมโครกรัมอะตอมฟอสฟอรัสต่อลิตร ส่วนช่วงมรสูมตะวันตกเฉียงใต้จะมีค่าอยู่ในช่วง 0.09 ถึง 0.25 ไมโครกรัมอะตอมฟอสฟอรัสต่อลิตร และพบว่าปริมาณฟอสเฟต-ฟอสฟอรัสในสถานีที่ 1 จะมีค่าสูงกว่าสถานีอื่นๆ อย่างมีนัยสำคัญยิ่งทางสถิติ แต่จะไม่มีความแตกต่างที่สถานีเดียวกันในแต่ละถดມรสูม

3.1.10 ปริมาณคลอโรฟิล เอ ปริมาณคลอโรฟิล เอ ในน้ำทะเลบริเวณอ่าวป่าตอง แสดงผลดังตารางที่ 3.10 และรูปที่ 3.10 พบร้าปริมาณคลอโรฟิล เอ ในน้ำทะเลแต่ละสถานีไม่มีรูปแบบที่แน่นอนคือจะมีค่าเปลี่ยนแปลงอยู่เสมอ โดยจะมีค่าอยู่ในช่วง 0.0002-0.714 มิลลิกรัมต่อลูกบาศก์เมตร โดยมีค่าเฉลี่ยตลอดเวลาที่ทำการศึกษาอยู่ในช่วง 0.04 ถึง 0.13 มิลลิกรัมต่อลูกบาศก์เมตร เมื่อแยกพิจารณาตามมรสูมจะพบว่า ในช่วงมรสูมตะวันออกเฉียงเหนือจะมีปริมาณคลอโรฟิล เอ ในน้ำทะเลอยู่ในช่วง 0.03 ถึง 0.14 มิลลิกรัมต่อลูกบาศก์เมตร และช่วงมรสูมตะวันตกเฉียงใต้จะมีค่าอยู่ในช่วง 0.05 ถึง 0.145 มิลลิกรัมต่อลูกบาศก์เมตร และจากการทดสอบทางสถิติพบว่าปริมาณคลอโรฟิล เอในน้ำทะเลที่สถานีต่างๆ มีความแตกต่างกันในช่วงมรสูมเดียวกัน และที่สถานีเดียวกันจะไม่มีความแตกต่างของค่าดังกล่าวในแต่ละถดມรสูม

จุฬาลงกรณ์มหาวิทยาลัย

ตารางที่ 3.9 ค่าเฉลี่ยและส่วนเบี่ยงเบนมาตรฐานของปริมาณขอโซฟต์แวร์ในน้ำทะเล

ที่สถานีต่างๆบริเวณอ่าวป่าตอง (หน่วยเป็นไมโครกรัมอะตอมฟอสฟอรัสต่อลิตร) ⁹

| สถานีที่ | มรดุลตะวันออกเฉียงเหนือ (ธ.ค.-เม.ย.) | | มรดุลตะวันตกเฉียงใต้ (พ.ค.-พ.ย.) | | ตลอดปี | |
|----------|---|------|-------------------------------------|------|--------|------|
| | MEAN | SD | MEAN | SD | MEAN | SD |
| 1 | 6.82 | 4.12 | 4.67 | 5.26 | 5.55 | 4.81 |
| 2 | 0.5 | 0.71 | 0.25 | 0.36 | 0.35 | 0.53 |
| 3 | 0.6 | 0.83 | 0.19 | 0.11 | 0.36 | 0.5 |
| 4 | 0.35 | 0.79 | 0.09 | 0.05 | 0.2 | 0.5 |
| 4.1 | 0.32 | 0.76 | 0.11 | 0.08 | 0.2 | 0.5 |
| 5 | 0.37 | 0.81 | 0.1 | 0.04 | 0.23 | 0.54 |
| 5.1 | 0.34 | 0.77 | 0.17 | 0.28 | 0.25 | 0.54 |
| 6 | 0.42 | 0.97 | 0.19 | 0.17 | 0.3 | 0.68 |
| 6.1 | 0.37 | 0.83 | 0.11 | 0.09 | 0.24 | 0.58 |

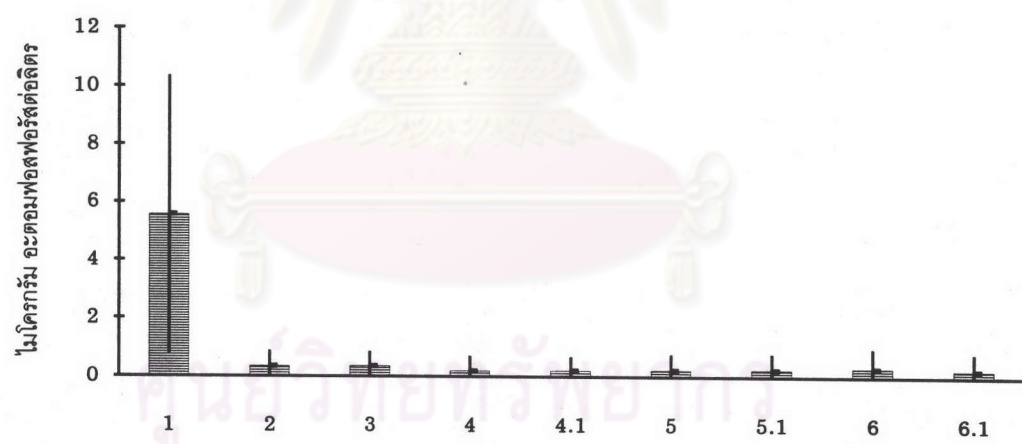
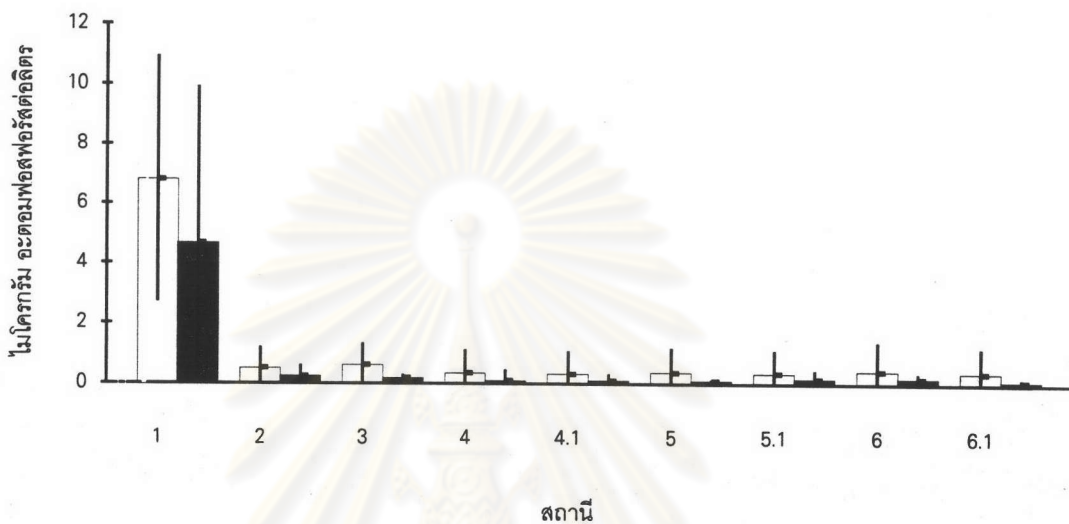
9 จากการทดสอบโดย two way ANOVA ที่ $\alpha = 0.05$ พบรากานีมีผลต่อปริมาณขอโซฟต์แวร์ในน้ำทะเลบริเวณอ่าวป่าตอง (ภาคผนวก ข และดูรายละเอียดในข้อ 3.1.8)

ตารางที่ 3.10 ค่าเฉลี่ยและส่วนเบี่ยงเบนมาตรฐานของปริมาณคลอโรฟิล เอในน้ำทะเล

ที่สถานีต่างๆบริเวณอ่าวป่าตอง (หน่วยเป็นมิลลิกรัมต่อลูกบาศก์เมตร) ¹⁰

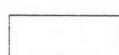
| สถานีที่ | มรดุลตะวันออกเฉียงเหนือ (ธ.ค.-เม.ย.) | | มรดุลตะวันตกเฉียงใต้ (พ.ค.-พ.ย.) | | ตลอดปี | |
|----------|---|------|-------------------------------------|------|--------|------|
| | MEAN | SD | MEAN | SD | MEAN | SD |
| 1 | 0.096 | 0.08 | 0.15 | 0.11 | 0.13 | 0.1 |
| 2 | 0.05 | 0.03 | 0.07 | 0.04 | 0.06 | 0.04 |
| 3 | 0.03 | 0.02 | 0.05 | 0.03 | 0.04 | 0.03 |
| 4 | 0.03 | 0.03 | 0.11 | 0.2 | 0.08 | 0.16 |
| 4.1 | 0.04 | 0.04 | 0.05 | 0.03 | 0.05 | 0.03 |
| 5 | 0.09 | 0.12 | 0.05 | 0.03 | 0.06 | 0.08 |
| 5.1 | 0.04 | 0.03 | 0.06 | 0.04 | 0.05 | 0.03 |
| 6 | 0.14 | 0.28 | 0.08 | 0.04 | 0.11 | 0.2 |
| 6.1 | 0.03 | 0.03 | 0.05 | 0.03 | 0.04 | 0.03 |

10 จากการทดสอบโดย two way ANOVA ที่ $\alpha = 0.05$ พบรากานีมีผลต่อปริมาณคลอโรฟิล เอในน้ำทะเล (ภาคผนวก ข)

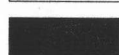


รูปที่ 3.9 ค่าเฉลี่ยและส่วนเบี่ยงเบนมาตรฐานของฟอสเฟต-ฟอสฟอรัสในน้ำทะเล

ที่สถานีต่างๆ บริเวณอ่าวป่าตอง



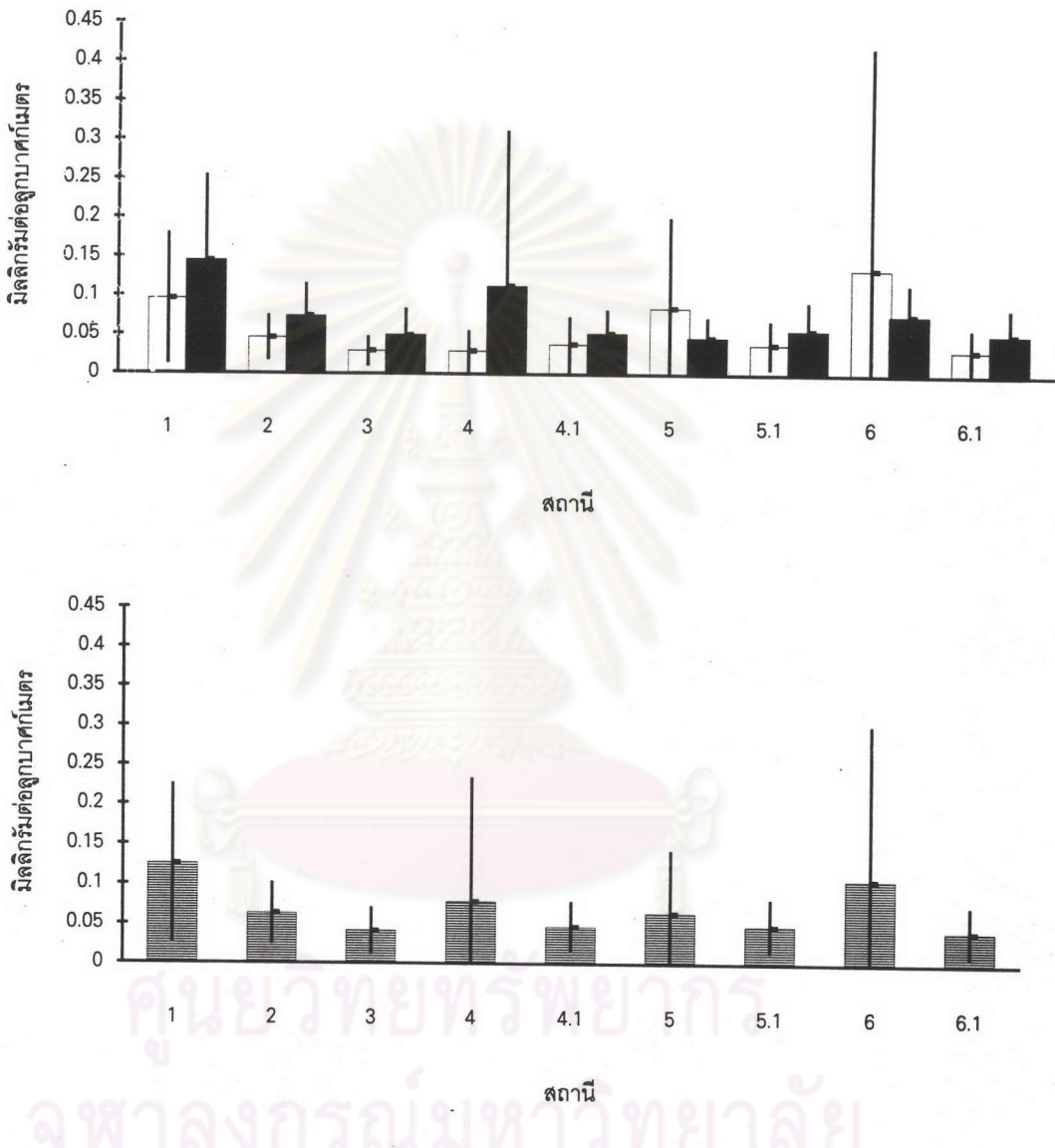
มรดุลตะวันออกเฉียงเหนือ (ธันวาคม-เมษายน)



มรดุลตะวันตกเฉียงใต้ (พฤษภาคม-พฤษจิกายน)



ตลอดปี



รูปที่ 3.10 ค่าเฉลี่ยและส่วนเบี่ยงเบนมาตรฐานของคลอโรฟิล เอในน้ำทะเล
ที่สถานีต่างๆบริเวณอ่าวป่าตอง

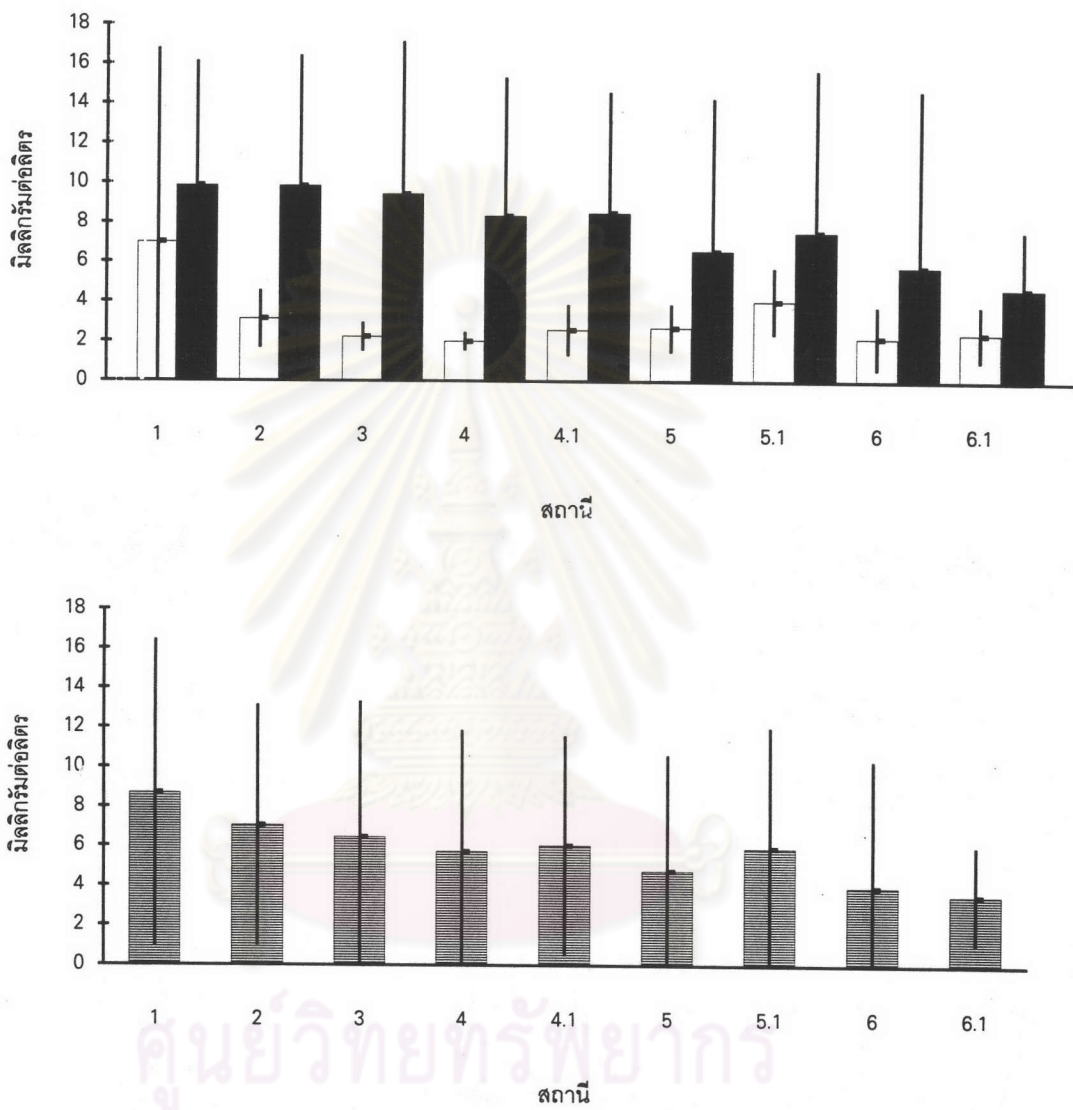
- [White Box] mgrสุมตะวันออกเฉียงเหนือ (ธันวาคม-เมษายน)
- [Black Box] mgrสุมตะวันตกเฉียงใต้ (พฤษภาคม-พฤษจิกายน)
- [Hatched Box] ตลอดปี

3.1.11 ปริมาณตะกอนแขวนลอย การศึกษาปริมาณตะกอนแขวนลอยในน้ำทะเลบริเวณ
อ่าวป่าตองจะแสดงผลดังตารางที่ 3.11 และรูปที่ 3.11 พบร่วมปริมาณตะกอนแขวนลอยในน้ำทะเลจะมี
ค่าอยู่ในช่วง 0.3 มิลลิกรัมต่อลิตร โดยมีค่าเฉลี่ยตลอดเวลาที่ทำการศึกษาอยู่ในช่วง 3.5 ถึง 8.7
มิลลิกรัมต่อลูกบาศก์เมตร เมื่อแยกพิจารณาตามมรสุมจะพบว่าในช่วงมรสุมตะวันออกเฉียงเหนือจะมี
ปริมาณตะกอนแขวนลอยในน้ำทะเลอยู่ในช่วง 2 ถึง 7 มิลลิกรัมต่อลูกบาศก์เมตร และช่วงมรสุมตะวัน
ตกเฉียงใต้จะมีค่าอยู่ในช่วง 4.7 ถึง 9.8 มิลลิกรัมต่อลูกบาศก์เมตร และพบว่าปริมาณตะกอนแขวนลอย
ในน้ำทะเลที่สถานีต่างๆมีค่าไม่แตกต่างกันในช่วงมรสุมเดียวกัน และไม่มีความแตกต่างของค่าดังกล่าว
ที่สถานีเดียวกันในแต่ละฤดูมรสุม

ตารางที่ 3.11 ค่าเฉลี่ยและส่วนเบี่ยงเบนมาตรฐานของปริมาณตะกอนแขวนลอยในน้ำทะเล
ที่สถานีต่างๆบริเวณอ่าวป่าตอง (หน่วยเป็นมิลลิกรัมต่อลิตร) 11

| สถานีที่ | มรสุมตะวันออกเฉียงเหนือ (ธ.ค.-เม.ย.) | | มรสุมตะวันตกเฉียงใต้ (พ.ค.-พ.ย.) | | ตลอดปี | |
|----------|---|------|-------------------------------------|------|--------|------|
| | MEAN | SD | MEAN | SD | MEAN | SD |
| 1 | 6.99 | 9.79 | 9.84 | 6.3 | 8.67 | 7.77 |
| 2 | 3.09 | 1.45 | 9.83 | 6.59 | 7.05 | 6.07 |
| 3 | 2.21 | 0.71 | 9.42 | 7.7 | 6.45 | 6.85 |
| 4 | 1.98 | 0.46 | 8.33 | 6.98 | 5.72 | 6.15 |
| 4.1 | 2.55 | 1.27 | 8.47 | 6.12 | 6.03 | 5.54 |
| 5 | 2.65 | 1.19 | 6.55 | 7.72 | 4.75 | 5.87 |
| 5.1 | 4.01 | 1.68 | 7.49 | 8.2 | 5.89 | 6.12 |
| 6 | 2.16 | 1.58 | 5.73 | 8.93 | 3.94 | 6.39 |
| 6.1 | 2.39 | 1.39 | 4.65 | 2.93 | 3.52 | 2.48 |

11 จากการทดสอบโดย two way ANOVA ที่ $\alpha = 0.05$ พบร่วมฤดูมรสุมและสถานี
ไม่มีผลต่อปริมาณตะกอนแขวนลอยในน้ำทะเล (ภาคผนวก ข)



รูปที่ 3.11 ค่าเฉลี่ยและส่วนเบี่ยงเบนมาตรฐานของปริมาณตะกอนแขวนลอย

ในน้ำทะเลที่สถานีต่างๆ บริเวณอ่าวป่าตอง

มวลตะวันออกเฉียงเหนือ (ธันวาคม-เมษายน)

มวลตะวันตกเฉียงใต้ (พฤษภาคม-พฤษจิกายน)

ตลอดปี

3.1.12 ปริมาณรวมของแบคทีเรียชนิดโคลิฟอร์มและพีคอลโคลิฟอร์ม จากการศึกษา ปริมาณรวมของแบคทีเรียชนิดโคลิฟอร์มในน้ำทะเลบริเวณอ่าวป่าตอง ซึ่งแสดงผลดังตารางที่ 3.12 และ รูปที่ 3.12 จะพบว่าสถานีที่ 1 มีปริมาณสูงกว่าสถานีอื่นๆ ค่อนข้างมากคือมีค่าอยู่ในช่วง 49-2,400,000 เอ็มพี/เอนน์ ต่อ 100 มิลลิลิตรตามลำดับ มีค่าเฉลี่ยตลอดปีเท่ากับ 76,338.8 เอ็มพี/เอนน์ ต่อ 100 มิลลิลิตร ตามลำดับ เมื่อแยกพิจารณาตามฤดูมรสุม พบร้าในช่วงมรสุมตะวันออกเฉียงเหนือ สถานีที่ 1 จะมี ปริมาณรวมของแบคทีเรียชนิดโคลิฟอร์มเท่ากับ 46,331.3 เอ็มพี/เอนน์ ต่อ 100 มิลลิลิตร ส่วนช่วงมรสุม ตะวันตกเฉียงใต้จะมีค่าเท่ากับ 104,487.3 เอ็มพี/เอนน์ ต่อ 100 มิลลิลิตร ส่วนสถานีอื่นๆ ปริมาณรวมของ แบคทีเรียชนิดโคลิฟอร์มในน้ำทะเลจะมีค่าอยู่ในช่วง <2-16,000 เอ็มพี/เอนน์ ต่อ 100 มิลลิลิตร มีค่าเฉลี่ย ตลอดปีอยู่ในช่วง 59 ถึง 647.1 เอ็มพี/เอนน์ ต่อ 100 มิลลิลิตร ในช่วงมรสุมตะวันออกเฉียงเหนือจะมีค่าอยู่ ในช่วง 24.7 ถึง 904.3 เอ็มพี/เอนน์ ต่อ 100 มิลลิลิตร ส่วนช่วงมรสุมตะวันตกเฉียงใต้จะมีค่าอยู่ในช่วง 58.0 ถึง 467 เอ็มพี/เอนน์ ต่อ 100 มิลลิลิตร

ส่วนการศึกษาปริมาณรวมของแบคทีเรียชนิดพีคอลโคลิฟอร์มในน้ำทะเลบริเวณอ่าวป่าตอง ซึ่งแสดงผลดังตารางที่ 3.13 และรูปที่ 3.13 การศึกษาดังกล่าวจะมีแนวโน้มเช่นเดียวกับการศึกษา ปริมาณรวมของแบคทีเรียชนิดโคลิฟอร์ม คือพบว่าสถานีที่ 1 มีปริมาณสูงกว่าสถานีอื่นๆ ค่อนข้างมาก โดยมีค่าอยู่ในช่วง 23-2,400,000 เอ็มพี/เอนน์ ต่อ 100 มิลลิลิตร และมีค่าเฉลี่ยตลอดปีเท่ากับ 66,566.8 เอ็มพี/เอนน์ ต่อ 100 มิลลิลิตร เมื่อแยกพิจารณาตามฤดูมรสุมพบว่าในช่วงมรสุมตะวันออกเฉียงเหนือ สถานีที่ 1 จะมีปริมาณรวมของแบคทีเรียชนิดพีคอลโคลิฟอร์มเฉลี่ยเท่ากับ 46,214.7 เอ็มพี/เอนน์ ต่อ 100 มิลลิลิตร ส่วนช่วงมรสุมตะวันตกเฉียงใต้จะมีค่าเท่ากับ 80,813.3 เอ็มพี/เอนน์ ต่อ 100 มิลลิลิตร ส่วนสถานี อื่นๆ ปริมาณรวมของแบคทีเรียชนิดพีคอลโคลิฟอร์มในน้ำทะเลจะมีค่าอยู่ในช่วง <2-16,000 เอ็มพี/เอนน์ ต่อ 100 มิลลิลิตร มีค่าเฉลี่ยตลอดปีอยู่ในช่วง 12.5 ถึง 535 เอ็มพี/เอนน์ ต่อ 100 มิลลิลิตร เมื่อแยก พิจารณาตามฤดูมรสุมพบว่าในช่วงมรสุมตะวันออกเฉียงเหนือจะมีค่าอยู่ในช่วง 8 ถึง 791.5 เอ็มพี/เอนน์ ต่อ 100 มิลลิลิตร ส่วนช่วงมรสุมตะวันตกเฉียงใต้จะมีค่าอยู่ในช่วง 8.57 ถึง 356.4 เอ็มพี/เอนน์ ต่อ 100 มิลลิลิตร

จะเห็นว่าปริมาณรวมของแบคทีเรียชนิดโคลิฟอร์มและพีคอลโคลิฟอร์มที่สถานีที่ 1 จะมีค่า สูงกว่าสถานีอื่นๆ ค่อนข้างมาก โดยสถานีที่ 1 จะมีค่าดังกล่าวสูงกว่าสถานีอื่นๆ ในช่วงฤดูมรสุมเดียวกัน อย่างมีนัยสำคัญยิ่งทางสถิติ แต่จะไม่มีความแตกต่างที่สถานีเดียวกันในแต่ละฤดูมรสุม

ตารางที่ 3.12 ค่าเฉลี่ยและส่วนเบี่ยงเบนมาตรฐานของปริมาณแบคทีเรียชานิดโคลิฟอร์ม
ในน้ำทະเลที่สถานีต่างๆ บริเวณอ่าวป่าตอง (หน่วยเป็น MPN/100 ml.)¹²

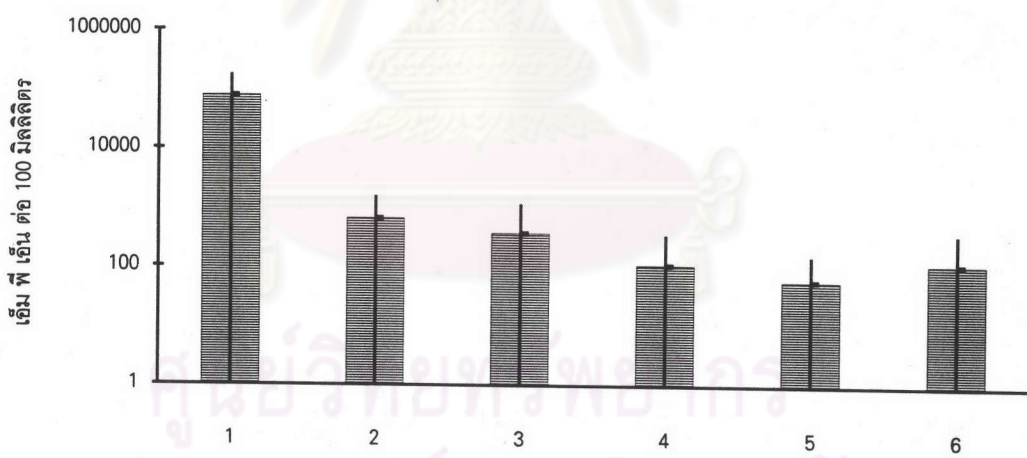
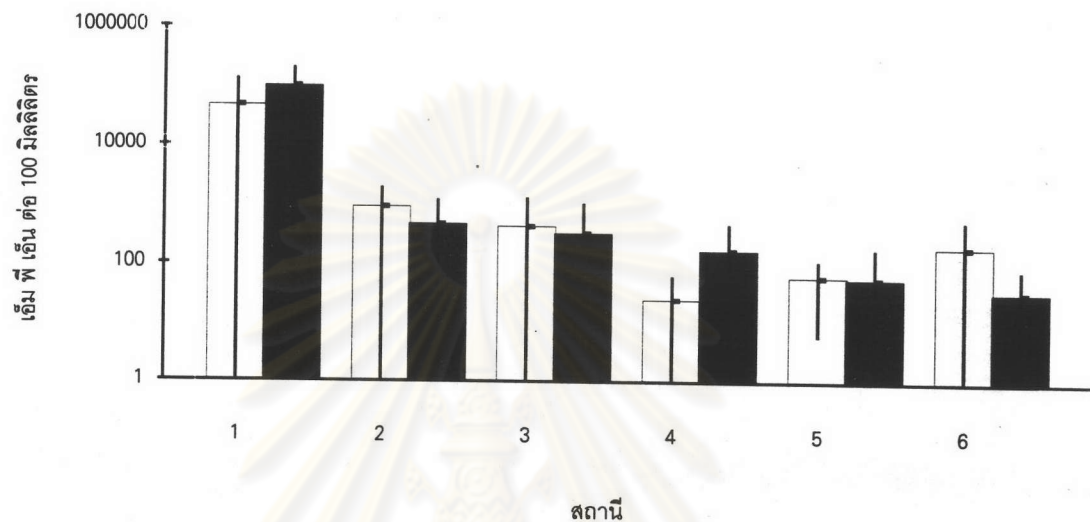
| สถานีที่ | มรดุมตะวันออกเฉียงเหนือ | | มรดุมตะวันตกเฉียงใต้ | | ตลอดปี | |
|----------|-------------------------|---------|----------------------|-----------|----------|----------|
| | MEAN | SD | MEAN | SD | MEAN | SD |
| 1 | 46331.29 | 86556 | 98194 | 104487.34 | 76838.76 | 98198.04 |
| 2 | 904.29 | 1041.49 | 467 | 737.46 | 647.06 | 872.86 |
| 3 | 429.43 | 891.45 | 331.5 | 737.65 | 371.41 | 778.72 |
| 4 | 24.71 | 38.69 | 169.4 | 309.51 | 109.82 | 244.61 |
| 5 | 61.17 | 55.13 | 58 | 128.82 | 59.46 | 97.81 |
| 6 | 199.83 | 364.83 | 35.17 | 49.6 | 117.5 | 262.7 |

¹² จากการทดสอบโดย two way ANOVA ที่ $\alpha = 0.05$ พบราสถานีมีผลต่อปริมาณแบคทีเรีย-ชานิดโคลิฟอร์มในน้ำทະเลบริเวณอ่าวป่าตอง (ภาคผนวก ข และดูรายละเอียดในข้อ 3.1.12)

ตารางที่ 3.13 ค่าเฉลี่ยและส่วนเบี่ยงเบนมาตรฐานของปริมาณแบคทีเรียชานิดพีคอลโคลิฟอร์ม
ในน้ำทະเลที่สถานีต่างๆ บริเวณอ่าวป่าตอง (หน่วยเป็น MPN/100 ml.)¹³

| สถานีที่ | มรดุมตะวันออกเฉียงเหนือ | | มรดุมตะวันตกเฉียงใต้ | | ตลอดปี | |
|----------|-------------------------|----------|----------------------|---------|----------|----------|
| | MEAN | SD | MEAN | SD | MEAN | SD |
| 1 | 46214.7 | 86628.08 | 80813.3 | 93886.9 | 66566.82 | 89891.73 |
| 2 | 791.47 | 1114.74 | 356.4 | 740.49 | 535.55 | 907.27 |
| 3 | 425.43 | 893.06 | 259.6 | 752.27 | 327.88 | 790.24 |
| 4 | 8 | 10.25 | 15.7 | 12.35 | 12.53 | 11.85 |
| 5 | 23.33 | 16.06 | 8.57 | 11.1 | 15.38 | 15.09 |
| 6 | 52.67 | 87.33 | 8.67 | 8.76 | 30.67 | 63.48 |

¹³ จากการทดสอบโดย two way ANOVA ที่ $\alpha = 0.05$ พบราสถานีมีผลต่อปริมาณแบคทีเรีย-ชานิดพีคอลโคลิฟอร์มในน้ำทະเลบริเวณอ่าวป่าตอง (ภาคผนวก ข และดูรายละเอียดในข้อ 3.1.12)



รูปที่ 3.12 ค่าเฉลี่ยและส่วนเบี่ยงเบนมาตรฐานของปริมาณรวมของแบคทีเรีย

ชนิดโคลิฟอร์ม ในน้ำทະเลที่สถานีต่างๆ บริเวณอ่าวปากของ



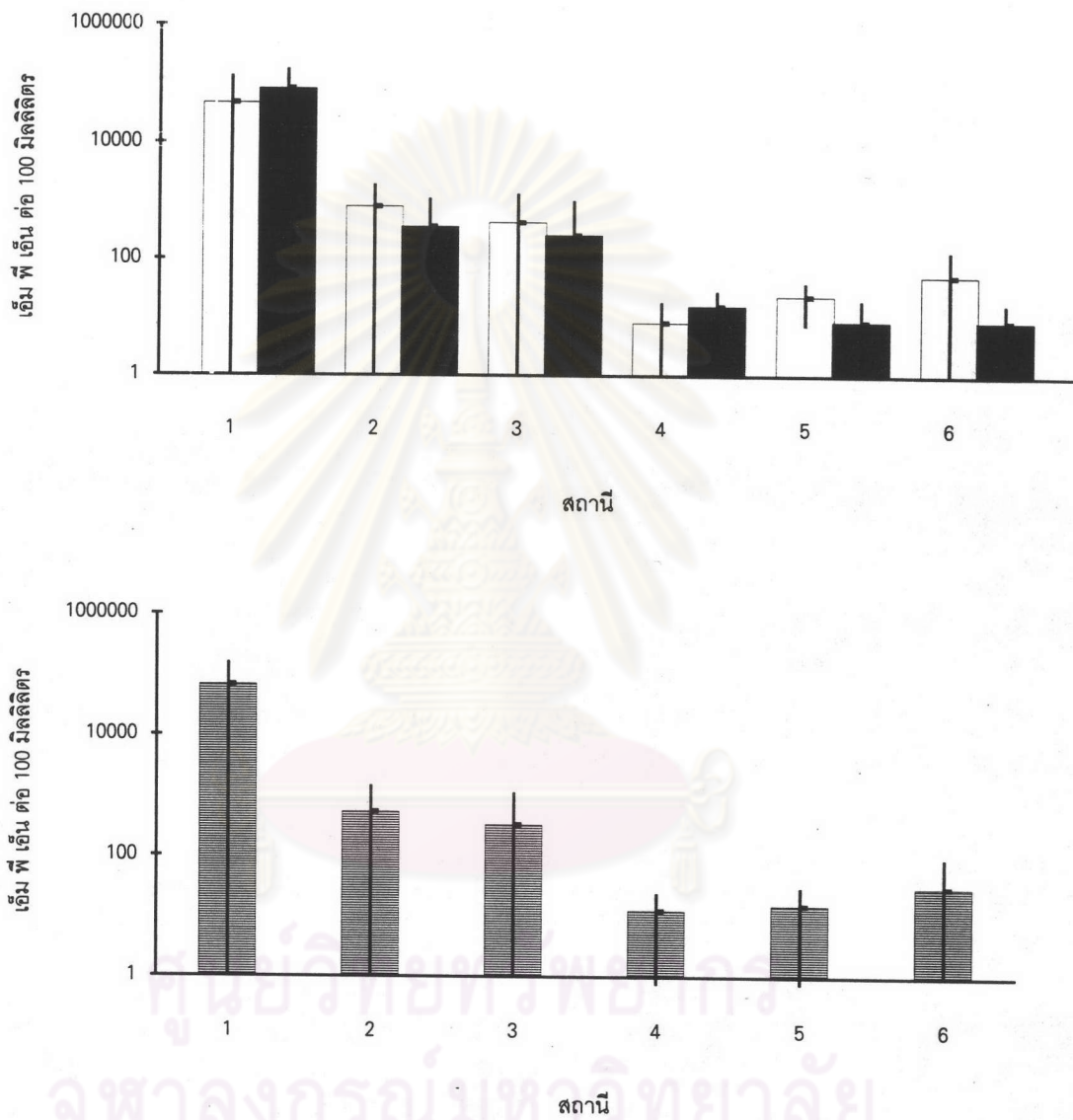
มารสุมตะวันออกเฉียงหนึ่ง (ธันวาคม-เมษายน)



มารสุมตะวันตกเฉียงใต้ (พฤษภาคม-พฤษจิกายน)



ตลาดบี



รูปที่ 3.13 ค่าเฉลี่ยและส่วนเบี่ยงเบนมาตรฐานของปริมาณรวมของแบคทีเรียชนิดฟีโคลโคลิฟอร์ม ในน้ำทะเลที่สถานีต่างๆ บริเวณอ่าวป่าตอง

- [White Box] น้ำสูบน้ำวันออกเนี่ยงเหนือ (กันวาคม-เมษายน)
- [Black Box] น้ำสูบน้ำตกเนี่ยงใต้ (พฤษภาคม-พฤษจิกายน)
- [Hatched Box] ตลอดปี

3.2 การศึกษาสภาพแนวป่าภารัง

ได้ทำการศึกษาการเปลี่ยนแปลงสภาพแนวป่าภารังรวม 21 ครั้ง ใน 3 สถานี ตั้งแต่เดือน พฤษภาคม พ.ศ. 2536 ถึงเมษายน พ.ศ. 2537 ส่วนช่วงกลางเดือนเมษายนเป็นต้นมาบริเวณอ่าวป่าตองมีกระแสน้ำล้มรุนแรงและน้ำท่วมจึงไม่สามารถออกเก็บข้อมูลได้ และนอกจากการเก็บข้อมูลในช่วงระยะเวลาทำการศึกษาแล้วยังได้ทำการเก็บข้อมูลเพิ่มเติมในเดือนเมษายน พ.ศ. 2538 เพื่อเป็นการศึกษาข้อมูลในระยะยาวเพิ่มเติมด้วย

3.2.1 ผลการศึกษาสภาพป่าภารังโดยวิธี line transect การศึกษาสภาพป่าภารังโดยวิธี line transect ได้แสดงผลในตารางที่ 3.14 จากการศึกษาพบว่าตลอดระยะเวลาที่ทำการศึกษาในแต่ละสถานีมีการเปลี่ยนแปลงขององค์ประกอบสิ่งมีชีวิตหน้าดินไม่มากนัก โดยบริเวณสถานีที่ 2 เป็นบริเวณที่มีการครอบคลุมพื้นที่ของป่าภารังมีชีวิตมากที่สุด คือการครอบคลุมพื้นที่เฉลี่ยของป่าภารังในกลุ่มเขากวาง 2.28% ป่าภารังมีชีวิตชนิดอื่นๆ 41.98% องค์ประกอบสิ่งมีชีวิต 2.86% ป่าภารังตาย 33.60% สาหร่ายขนาดใหญ่ 0.32% และองค์ประกอบสิ่งมีชีวิตอื่นๆ 18.97% ดังแสดงในภาพที่ 3.14 ส่วนสถานีที่ 4 และ 6 จะมีการครอบคลุมพื้นที่ของป่าภารังมีชีวิตมากขึ้นเป็นลำดับ โดยสถานีที่ 4 มีการครอบคลุมพื้นที่เฉลี่ยของป่าภารังในกลุ่มเขากวาง, ป่าภารังมีชีวิตชนิดอื่นๆ, องค์ประกอบสิ่งมีชีวิต, ป่าภารังตาย, สาหร่ายขนาดใหญ่ และองค์ประกอบสิ่งมีชีวิตอื่นๆ คิดเป็น 1.86, 54.84, 4.85, 23.02, 0.22 และ 15.21 เปอร์เซนต์ตามลำดับ และในสถานีที่ 6 คิดเป็น 0.34, 70.54, 0.82, 25.42, 2.14 และ 0.76 เปอร์เซนต์ ดังแสดงในภาพที่ 3.15 และ 3.16 ตามลำดับ

เมื่อประเมินสภาพของแนวป่าภารังอย่างง่ายๆ โดยพิจารณาจากอัตราส่วนระหว่างอัตราส่วนระหว่างป่าภารังมีชีวิตและป่าภารังตาย ดังนี้

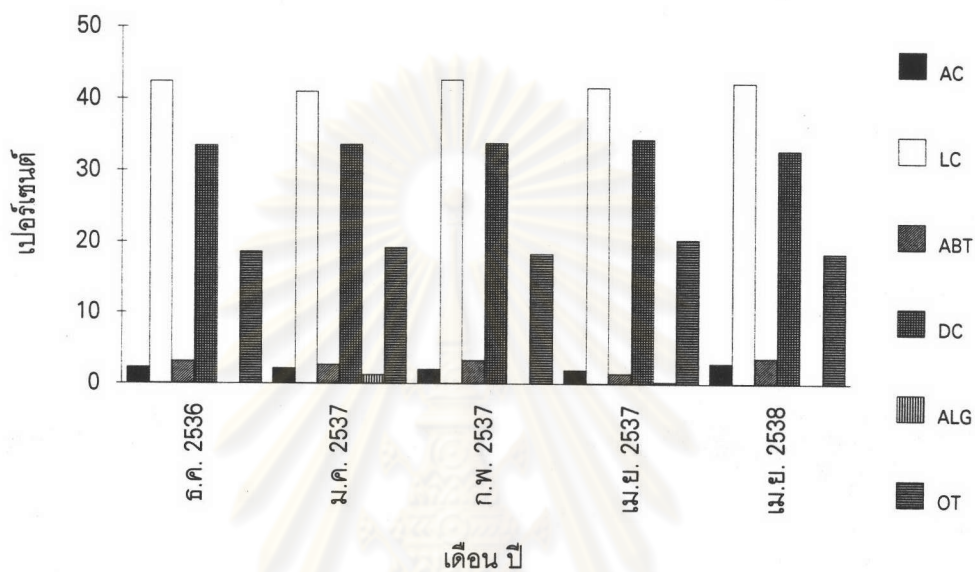
| ปริมาณป่าภารังมีชีวิต : | ป่าภารังตาย | สถานภาพของแนวป่าภารัง |
|-------------------------|-------------|-----------------------|
| 3 | 1 | ดีมาก |
| 2 | 1 | ดี |
| 1 | 1 | พอใช้ |
| 1 | 2 | เสื่อมโทรม |
| 1 | 3 | เสื่อมโทรมมาก |

ตารางที่ 3.14 เปอร์เซนต์ครอบคลุมพื้นที่ขององค์ประกอบสิ่งมีชีวิตในแนวปะการัง

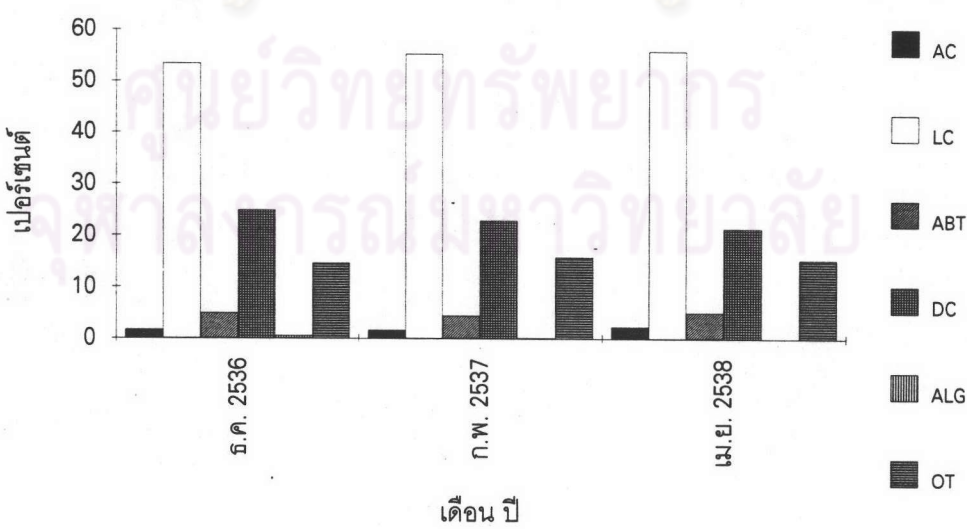
บริเวณอ่าวป่าตอง ศึกษาโดยวิธี line transect

| สถานีที่ | เดือน | เปอร์เซนต์ครอบคลุมพื้นที่ | | | | | | รวม |
|----------|------------|---------------------------|-------|------------------|-------|------|-------|-----|
| | | AC | LC | ABT | DC | ALG | OT | |
| 2 | ม.ค. 2536 | 2.33 | 42.44 | 3.14 | 33.48 | 0 | 18.61 | 100 |
| | ม.ค. 2537 | 2.18 | 40.99 | 2.73 | 33.6 | 1.3 | 19.2 | 100 |
| | ก.พ. 2537 | 2.02 | 42.61 | 3.29 | 33.76 | 0 | 18.32 | 100 |
| | เม.ย. 2537 | 1.96 | 41.58 | 1.45 | 34.38 | 0.3 | 20.33 | 100 |
| | เม.ย. 2538 | 2.9 | 42.25 | 3.67 | 32.8 | 0 | 18.38 | 100 |
| 4 | ม.ค. 2536 | 1.65 | 53.38 | 4.99 | 24.84 | 0.57 | 14.57 | 100 |
| | ม.ค. 2537 | | | ไม่ได้เก็บข้อมูล | | | | |
| | ก.พ. 2537 | 1.59 | 55.23 | 4.44 | 22.86 | 0.1 | 15.78 | 100 |
| | เม.ย. 2537 | | | ไม่ได้เก็บข้อมูล | | | | |
| | เม.ย. 2538 | 2.33 | 55.91 | 5.13 | 21.35 | 0 | 15.28 | 100 |
| 6 | ม.ค. 2536 | 0.21 | 72.63 | 0.41 | 23.06 | 1.6 | 2.09 | 100 |
| | ม.ค. 2537 | | | ไม่ได้เก็บข้อมูล | | | | |
| | ก.พ. 2537 | 0.17 | 70.49 | 1.4 | 23.43 | 3.61 | 0.9 | 100 |
| | เม.ย. 2537 | 0.23 | 68.5 | 0.7 | 28.04 | 2.53 | 0 | 100 |
| | เม.ย. 2538 | 0.73 | 70.52 | 0.75 | 27.15 | 0.8 | 0.05 | 100 |

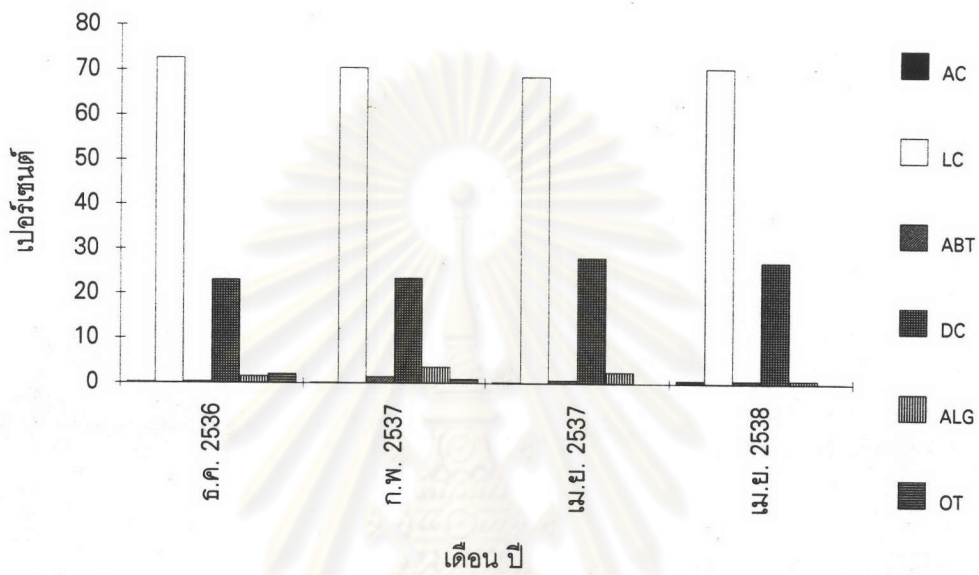
รูปที่ 3.14 เปอร์เซนต์ครอบคลุมพื้นที่ขององค์ประกอบสิ่งมีชีวิตในแนว
ประการัง สถานีที่ 2



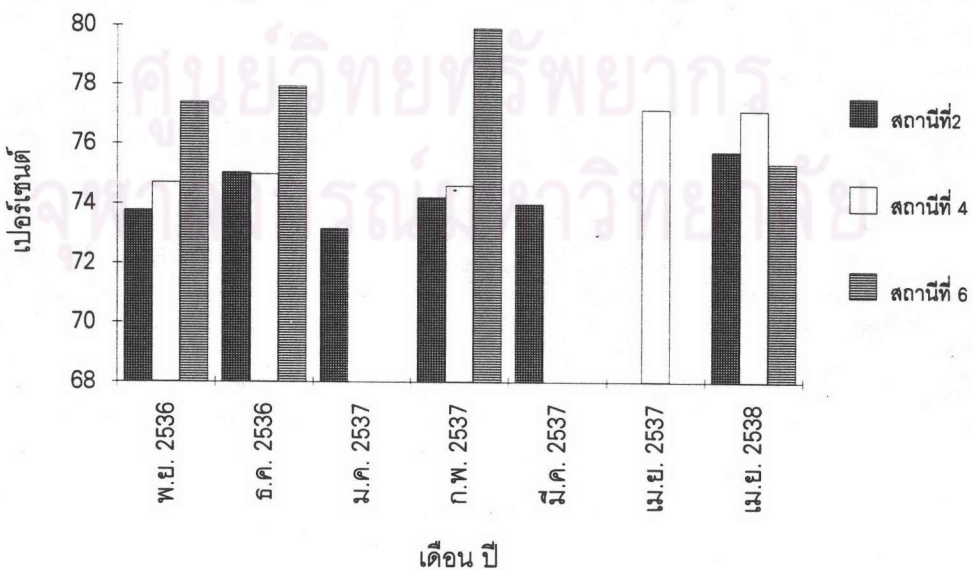
รูปที่ 3.15 เปอร์เซนต์ครอบคลุมพื้นที่ขององค์ประกอบสิ่งมีชีวิตในแนว
ประการัง สถานีที่ 4



รูปที่ 3.16 เปอร์เซนต์ครอบคลุมพื้นที่ขององค์ประกอบสิ่งมีชีวิตในแนว
ประภัง สถานีที่ 6



รูปที่ 3.17 เปอร์เซนต์ครอบคลุมพื้นที่ของประภังมีชีวิตที่สถานีต่างๆ
ศึกษาโดยวิธี permanent quadrat



จะพบว่าแนวปะการังในสถานีที่ 2 อยู่ในสภาพพอใช้ ส่วนสภาพแนวปะการังในสถานีที่ 4 และ 6 จะอยู่ในสภาพดีและดีมากตามลำดับ คือสถานีที่ 2 มีเปอร์เซนต์ครอบคลุมพื้นที่ของปะการังมีชีวิต (ซึ่งได้แก่ปะการังเขากวางและปะการังอื่นๆ) อยู่ในช่วง 43.17-45.15 เปอร์เซนต์ และปะการังตาย 32.8-33.6 เปอร์เซนต์ ปะการังชนิดที่พบมากในบริเวณนี้ได้แก่ปะการังก้อนชนิด *Porites lutea*, ปะการังสีน้ำเงินชนิด *Heliopora coerulea*, และปะการังก้อนชนิด *Cyphastrea* sp. ขณะทำการศึกษาพบว่าที่สถานีดังกล่าวมีน้ำค่อนข้าง浑浊 และมีตะกอนคลุมบนปะการังค่อนข้างมากโดยเฉพาะในฤดูร้อนตะวันตก เจียงใหม่ช่วงที่มีคลื่นลมสงบ นอกจากนี้ยังมีดอกไม้ทะเลในชั้นดับ Coralimorpharia ขึ้นคลุมปะการังตาย อยู่เป็นจำนวนมากจึงทำให้อัตราการคลุมพื้นที่ของสิ่งมีชีวิตอื่นๆ ในบริเวณนี้มีค่าสูงคืออยู่ในช่วง 18.32-20.33 เปอร์เซนต์ และมีสาหร่ายสีแดงขนาดเล็กชนิด *Ceramium* sp. (รศ.กัญจนภาชน์ ลิ่วมนต์: ติดต่อสถานัว) ซึ่งเป็นสาหร่ายที่เป็น epizoic form ซึ่งพบบนก้อนหินหรือปะการังตาย (กัญจนภาชน์ ลิ่วมนต์, 2531) สาหร่ายเหล่านี้มักเป็นสิ่งมีชีวิตชนิดแรก (pioneer species) ที่จะเกาะบนผิวของวัตถุที่อยู่ในน้ำก่อนที่จะมีการเปลี่ยนแปลงแทนที่โดยสิ่งมีชีวิตชนิดอื่น (ธรรมชาติ ธรรมชาติ ธรรมชาติ, 2530) สาหร่ายที่ปกคลุมแนวปะการังเหล่านี้นอกจากจะเป็นตัวแกร่งแข็งแย่งพื้นที่การเจริญเติบโตของปะการังโดยตรงแล้ว ยังเปรียบเสมือนเป็นกับดักตะกอน (sediment trap) ให้ตกลงบนแนวปะการังอีกด้วยเนื่องจากกระแสน้ำจะไหลช้าลงเมื่อประทับกับสาหร่ายเหล่านี้ เป็นเหตุให้มีตะกอนสะสมหรือตกทับอยู่บนปะการังซึ่งมีผลโดยตรงต่อการดำรงชีวิตของปะการัง รวมทั้งเป็นการลดพื้นที่ลงเกาของตัวอ่อนปะการังอีกด้วย จึงทำให้สภาพปะการังในสถานีที่ 2 มีความเสื่อมโทรมเกิดขึ้นและมีการฟื้นตัวช้ากว่าสถานีอื่นๆ

ในสถานีที่ 4 จะมีปะการังมีชีวิตอยู่ในช่วง 55.03-58.24 เปอร์เซนต์ และปะการังตาย 21.35-24.84 เปอร์เซนต์ และมีดอกไม้ทะเลขึ้นคลุมปะการังตายเรื่อยๆ กับสถานีที่ 2 โดยมีอัตราการคลุมพื้นที่ของสิ่งมีชีวิตอื่นๆ อยู่ในช่วง 14.57-15.78 เปอร์เซนต์ ปะการังชนิดเด่นในบริเวณนี้ได้แก่ปะการังก้อนชนิด *Diploastrea heliopora*, *P. lutea* และ *Cyphastrea* sp.

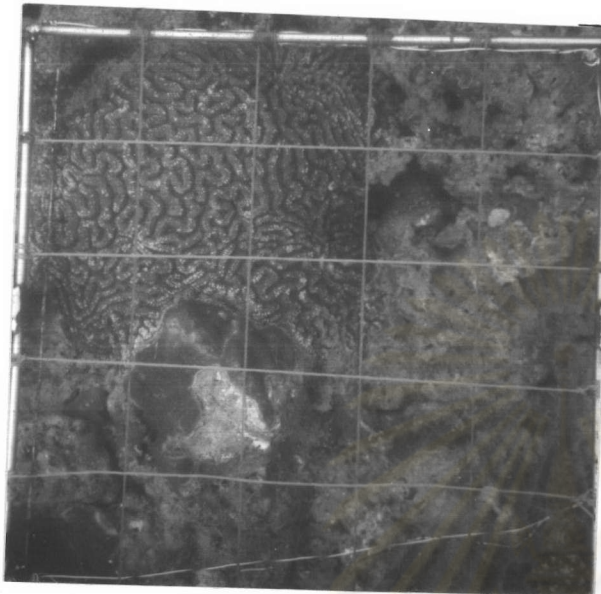
สถานีที่ 6 เป็นบริเวณที่มีสภาพปะการังดีที่สุดคือมีปะการังมีชีวิตอยู่ในช่วง 68.73-72.84 เปอร์เซนต์ ปะการังตาย 23.06-28.04 เปอร์เซนต์ ที่สถานีนี้จะไม่พบดอกไม้ทะเลชนิดที่ขึ้นคลุมปะการังตายแต่จะพบสาหร่ายสีแดงชนิด *Peyssonnelia* sp. และสาหร่ายเขากวาง *Galaxaura* sp. ขึ้นคลุมปะการังตายในบางพื้นที่ โดยมีอัตราการคลุมพื้นที่ของสาหร่ายขนาดใหญ่เหล่านี้อยู่ในช่วง 1.6-3.61 เปอร์เซนต์ ปะการังชนิดเด่นที่พบในบริเวณนี้ได้แก่ปะการังก้อนชนิด *D. heliopora*, ปะการังแผนเคลือบชนิด *P. (synaraea) rus* และปะการังสีน้ำเงินชนิด *H. coerulea*

3.2.2 ผลการศึกษาการเปลี่ยนแปลงสภาพป่าภารังโดยวิธี Permanent quadrat ผลการศึกษาดังกล่าวจะแสดงในตารางที่ 3.15 และรูปที่ 3.17 จากการศึกษาพบว่าป่าภารังในพื้นที่ที่กำหนดไว้เป็นจุดศึกษามีการเปลี่ยนแปลงอย่างมาก ซึ่งการศึกษาการเปลี่ยนแปลงของสภาพป่าภารังโดยวิธีนี้จะเป็นวิธีที่ศึกษาในพื้นที่ค่อนข้างจำกัดเฉพาะในจุดที่กำหนดไว้เท่านั้น และต้องอาศัยความละเอียดเป็นอย่างมากโดยเฉพาะสำหรับการศึกษาระยะสั้น เนื่องจากการเปลี่ยนแปลงของป่าภารังจะเกิดขึ้นค่อนข้างช้าดังแสดงในภาพที่ 3.18, 3.19 และ 3.20 จากการศึกษาให้ผลเช่นเดียวกับการศึกษาวิธีแรกคือไม่สามารถสรุปการเปลี่ยนแปลงที่ชัดเจนเนื่องจากมีการเปลี่ยนแปลงไปในทิศทางที่แตกต่างกัน ในแต่ละครั้งที่ทำการศึกษา แต่เมื่อพิจารณาข้อมูลระยะยาวในช่วงที่ทำการศึกษาพบว่าป่าภารังในจุดที่กำหนดไว้เป็นที่ศึกษาในสถานีที่ 2 จะมีเปอร์เซนต์ครอบคลุมพื้นที่เพิ่มขึ้นในช่วงที่ทำการศึกษาคือจาก 73.78 เปอร์เซนต์ในเดือนพฤษภาคม พ.ศ. 2536 เป็น 75.76 เปอร์เซนต์ ในเดือนเมษายน พ.ศ. 2538 ในขณะเดียวกันป่าภารังตายลดลงจาก 26.22 เปอร์เซนต์ เป็น 24.24 เปอร์เซนต์ ส่วนสถานีที่ 4 จะมีเปอร์เซนต์ครอบคลุมพื้นที่ของป่าภารังมีชีวิตเพิ่มขึ้น เช่นเดียวกันคือจาก 74.71 เปอร์เซนต์ เป็น 77.15 เปอร์เซนต์ และอัตราการครอบคลุมพื้นที่ของป่าภารังตายจะลดลงจาก 25.29 เป็น 22.85 เปอร์เซนต์ ส่วนสถานีที่ 6 อัตราการครอบคลุมพื้นที่ของป่าภารังมีชีวิตจะลดลงจาก 77.4 เปอร์เซนต์ เป็น 75.35 เปอร์เซนต์ และป่าภารังตายเพิ่มขึ้นจาก 22.6 เปอร์เซนต์ เป็น 24.55 เปอร์เซนต์

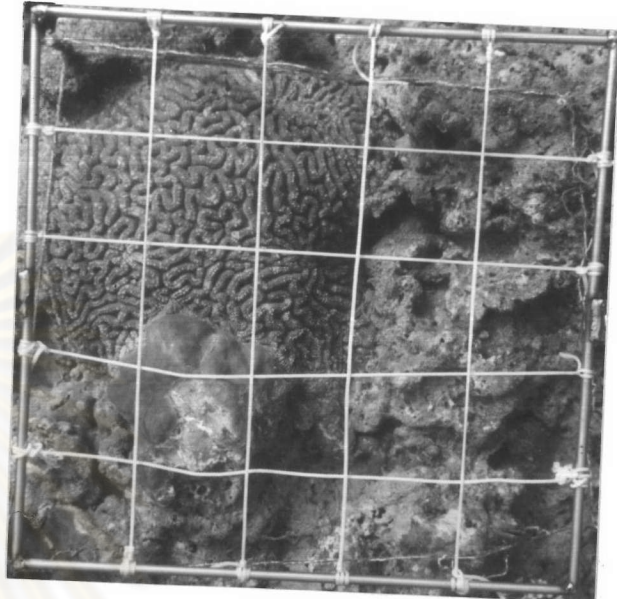
ตารางที่ 3.15 เปอร์เซนต์ครอบคลุมพื้นที่ของป่าภารังมีชีวิตและป่าภารังตาย

บริเวณอ่าวป่าตอง ศึกษาโดยวิธี permanent quadrat

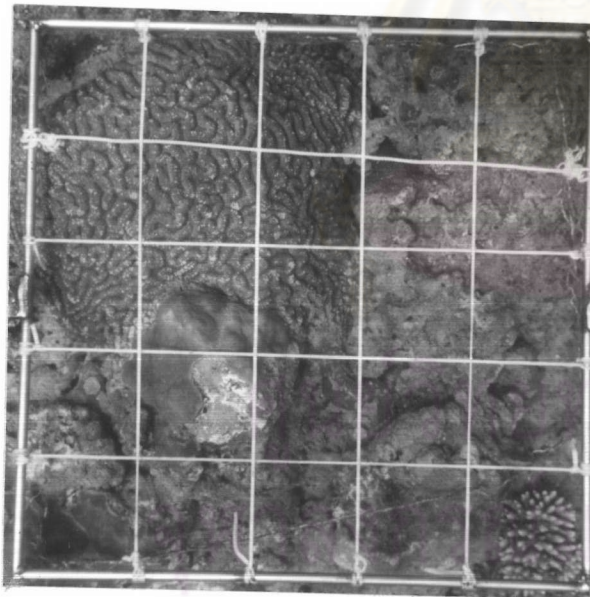
| สถานีที่ | 2 | | 4 | | 6 | | |
|------------|-------|---------------------------|-------|---------------------------|-------|---------------------------|----|
| | เดือน | เปอร์เซนต์ครอบคลุมพื้นที่ | | เปอร์เซนต์ครอบคลุมพื้นที่ | | เปอร์เซนต์ครอบคลุมพื้นที่ | |
| | | LC | DC | LC | DC | LC | DC |
| พ.ย. 2536 | 73.78 | 26.22 | 74.71 | 25.29 | 77.4 | 22.6 | |
| ธ.ค. 2536 | 75.03 | 24.97 | 74.98 | 25.02 | 77.93 | 22.07 | |
| ม.ค. 2537 | 73.16 | 26.84 | - | - | - | - | |
| ก.พ. 2537 | 74.21 | 25.79 | 74.59 | 25.41 | 79.91 | 20.09 | |
| มี.ค. 2537 | 73.99 | 26.01 | - | - | - | - | |
| เม.ย. 2537 | - | - | 77.18 | 22.82 | - | - | |
| เม.ย. 2538 | 75.76 | 24.24 | 77.15 | 22.85 | 75.35 | 24.65 | |



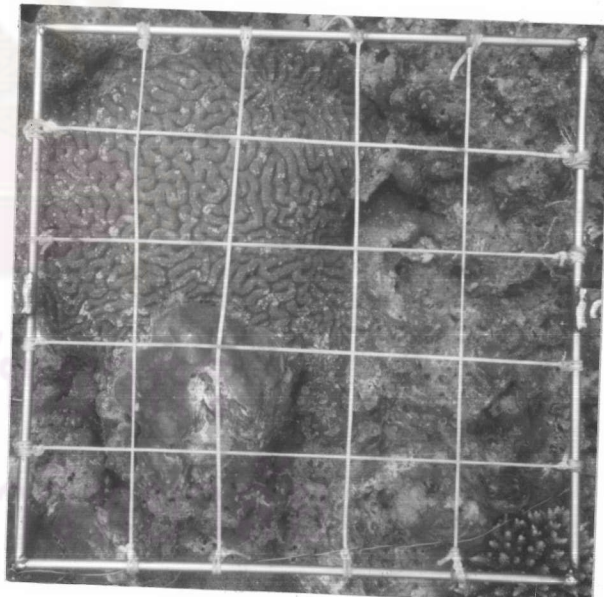
ก



ข



ค



ง

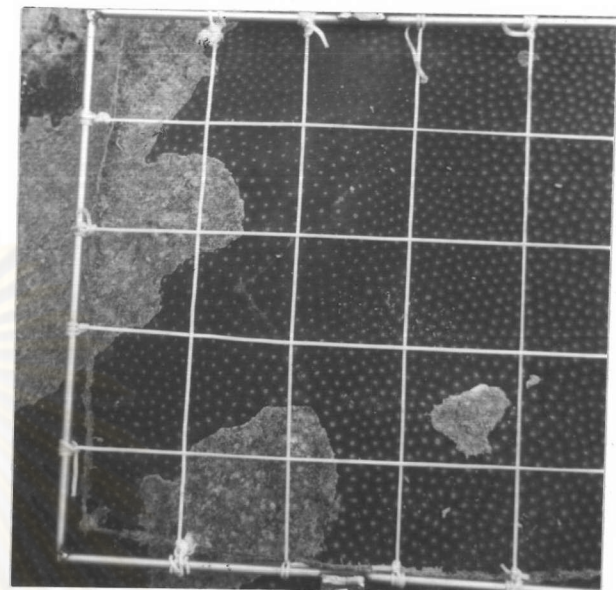
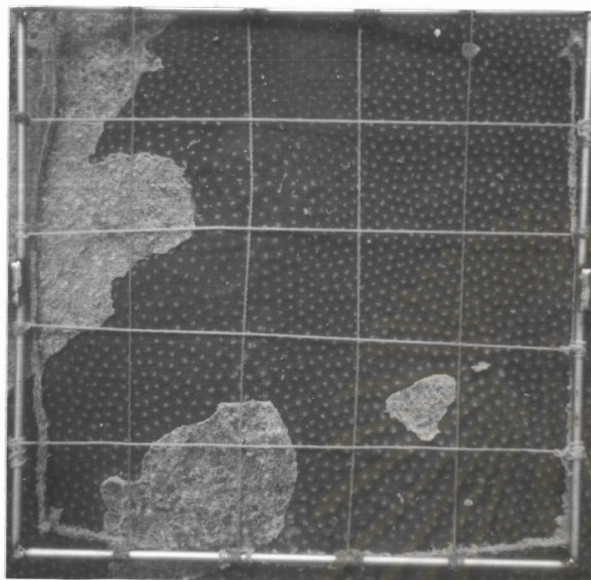
รูปที่ 3.18 ภาพตัวอย่างสภาพปะการังบริเวณสถานีที่ 2 ในช่วงต่างๆที่ทำการศึกษา

ก. ธันวาคม 2536

ค. มีนาคม 2537

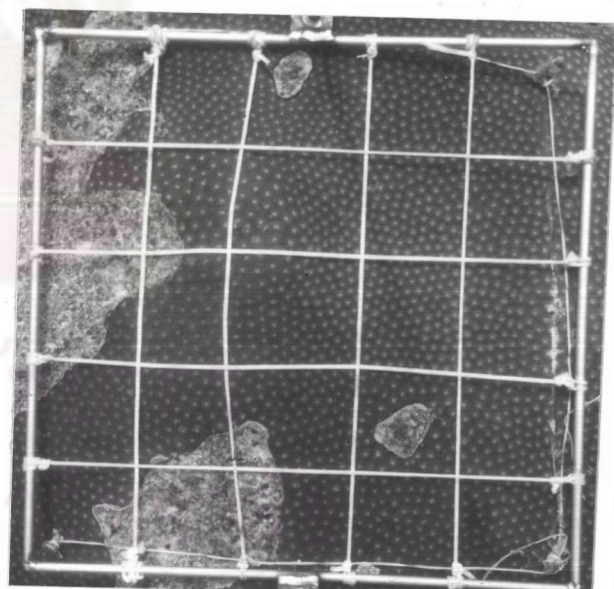
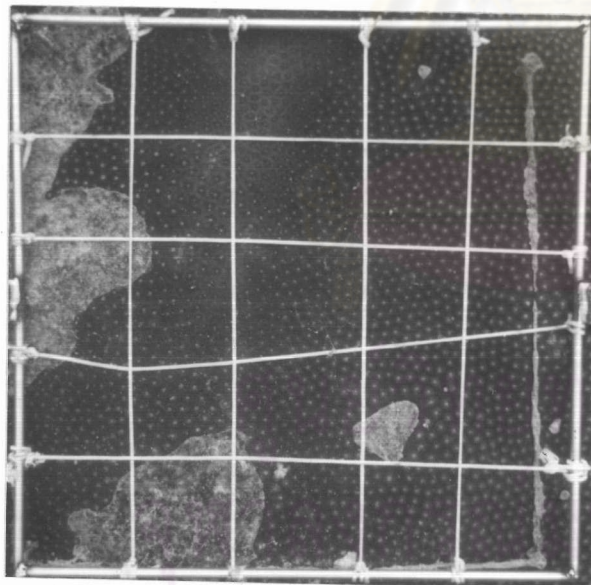
ข. กุมภาพันธ์ 2537

ง. มีนาคม 2538



ก

ก



ค

ค

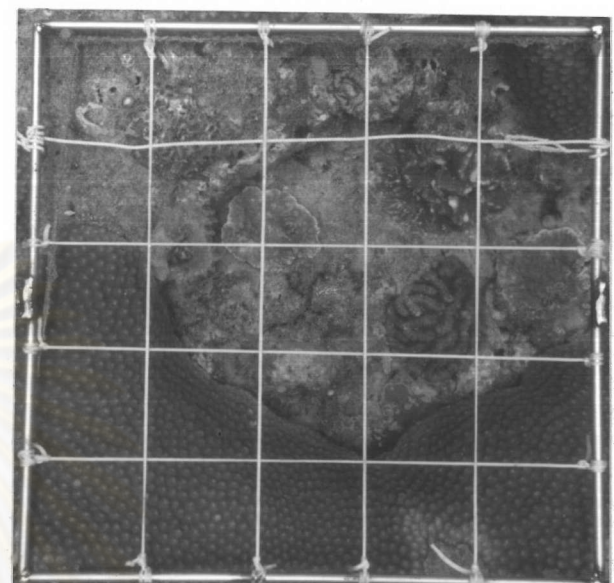
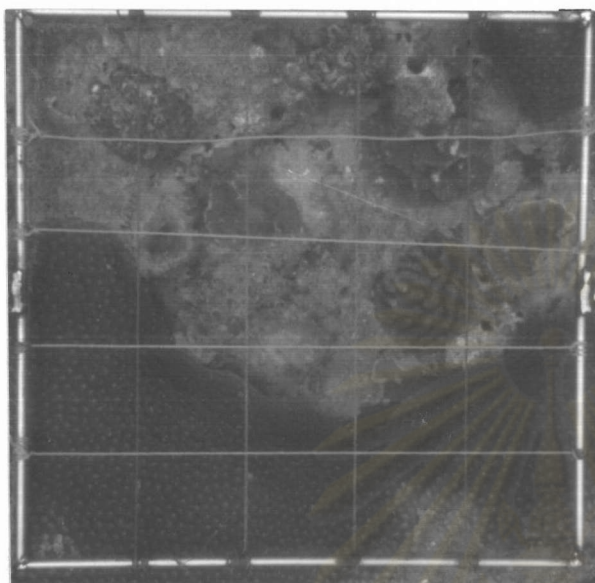
รูปที่ 3.19 ภาพตัวอย่างสภาพปะการังบริเวณสถานีที่ 4 ในช่วงต่างๆที่ทำการศึกษา

ก. ธันวาคม 2536

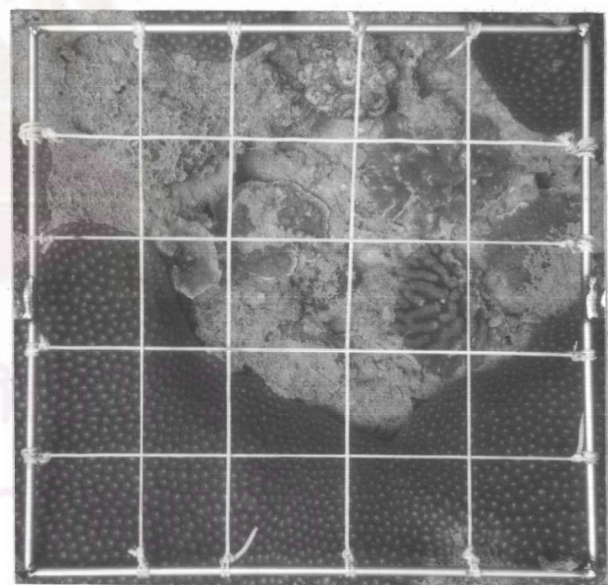
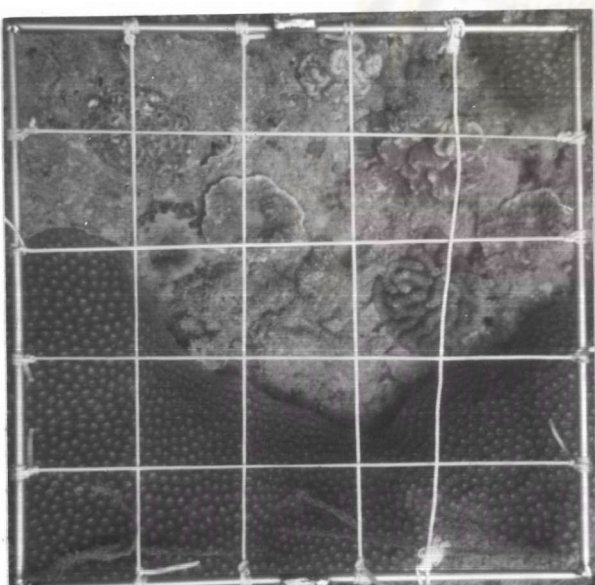
ข. มีนาคม 2537

ค. เมษายน 2537

ง. มีนาคม 2538



ก



ค

ก

รูปที่ 3.20 ภาพตัวอย่างสภาพปะการังบริเวณสถานีที่ 6 ในช่วงต่างๆที่ทำการศึกษา

ก. มีนาคม 2536

ข. กุมภาพันธ์ 2537

ค. เมษายน 2537

ง. เมษายน 2538

3.3 การศึกษาองค์ประกอบชนิดและปริมาณแพลงก์ตอนพืชและแพลงก์ตอนสัตว์

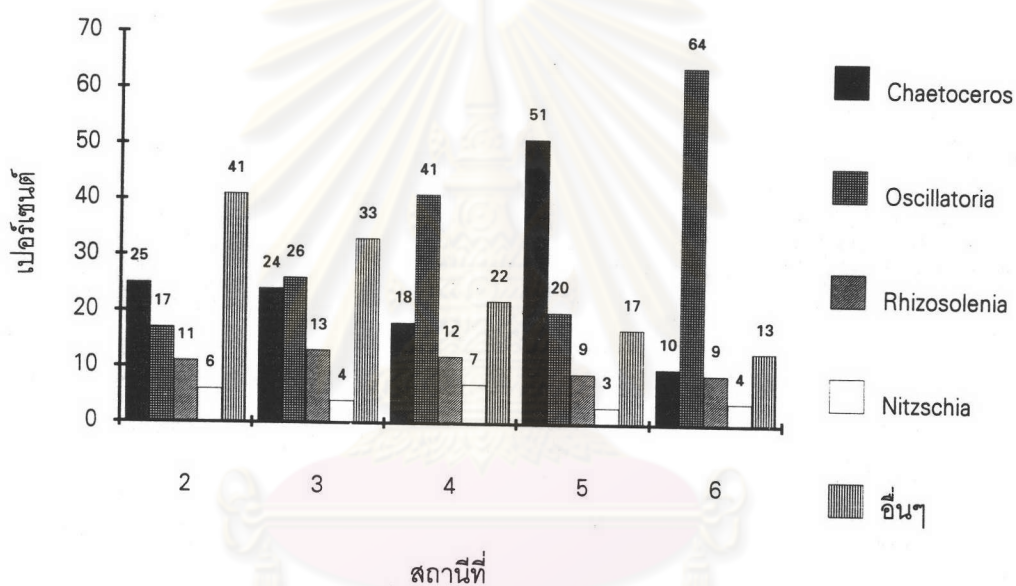
3.3.1 องค์ประกอบชนิดและปริมาณแพลงก์ตอนพืช จากการเก็บตัวอย่างที่สถานีต่างๆ บริเวณอ่าวป่าตองพบแพลงก์ตอนพืช 57 สกุล ใน 9 อันดับ ดังแสดงในภาคผนวก ค ในการเก็บตัวอย่าง แต่ละครั้งในแต่ละสถานีจะพบแพลงก์ตอนอยู่ในช่วง 5-29 สกุล แพลงก์ตอนส่วนใหญ่ที่พบมากเป็น ไดอะตومในสกุล *Chaetoceros* spp., *Rhizosolenia* spp. และสาหร่ายสีน้ำเงินแกรมเขียวในสกุล *Oscillatoria* spp. ส่วนแพลงก์ตอนพืชสกุลที่พบบ่อยและมีจำนวนค่อนข้างมาก ได้แก่ *Nitzschia* spp., *Pleurosigma* spp., *Ceratium* spp., *Protoperidinium* spp., *Bacteriastrum* spp., *Coscinodiscus* spp., *Skeletonema* spp., *Navicula* spp. และ *Thalassiothrix* spp. ดังแสดงในรูปที่ 3.21

จากการศึกษาจำนวนของแพลงก์ตอนพืชที่พบบริเวณอ่าวป่าตองซึ่งแสดงในรูปที่ 3.22 พบว่าในแต่ละสถานีมีความแตกต่างกันไปในแต่ละเดือนที่ทำการเก็บตัวอย่าง ซึ่งพอสรุปได้ตามสถานีคือ สถานีที่ 2 จะมีจำนวนแพลงก์ตอนพืชน้อยที่สุดคือ 456,606 เซลล์ต่อลูกบาศก์เมตรในเดือนสิงหาคม 2536 และมีจำนวนมากที่สุดคือ 13,725,488 เซลล์ต่อลูกบาศก์เมตรในเดือนกุมภาพันธ์ 2537 สถานีที่ 3 จะมีจำนวนแพลงก์ตอนพืชน้อยที่สุดคือ 346,481 เซลล์ต่อลูกบาศก์เมตรในเดือนสิงหาคม 2537 และมีจำนวนมากที่สุดคือ 2,206,648 เซลล์ต่อลูกบาศก์เมตรในเดือนเมษายน 2536 สถานีที่ 4 จะมีจำนวนแพลงก์ตอนพืชน้อยที่สุดคือ 225,352 เซลล์ต่อลูกบาศก์เมตรในเดือนกุมภาพันธ์ 2536 และมีจำนวนมากที่สุดคือ 3,072,838 เซลล์ต่อลูกบาศก์เมตรในเดือนเมษายน 2536 เช่นเดียวกัน ส่วนสถานีที่ 5 จะมีจำนวนแพลงก์ตอนพืชน้อยที่สุดคือ 65,003 เซลล์ต่อลูกบาศก์เมตรในเดือนสิงหาคม 2537 และมีจำนวนมากที่สุดคือ 4,833,803 เซลล์ต่อลูกบาศก์เมตรในเดือนพฤษภาคม 2536 และสถานีที่ 6 มีจำนวนน้อยที่สุดคือ 136,151 เซลล์ต่อลูกบาศก์เมตรในเดือนมกราคม 2537 จำนวนมากที่สุดคือ 7,943,662 เซลล์ต่อลูกบาศก์เมตรในเดือนเมษายน 2536 จะเห็นว่าปริมาณแพลงก์ตอนพืชจะมีการเปลี่ยนแปลงอยู่เสมอ โดยในช่วงแรกของการเก็บตัวอย่าง (เดือนกันยายน พ.ศ. 2536 ถึงเดือนธันวาคม พ.ศ. 2536) จำนวนแพลงก์ตอนในแต่ละสถานีมีค่าแตกต่างกันไม่มากนัก สถานีที่มีจำนวนแพลงก์ตอนพืชค่อนข้างมากคือ สถานีที่ 5 และ 6 ส่วนสถานีที่ 3, 4 และ 6 จะมีแนวโน้มการเปลี่ยนแปลงที่คล้ายคลึงกันคือมีจำนวนมากที่สุดในเดือนเมษายน พ.ศ. 2536 และมีการเปลี่ยนแปลงขึ้นลงจนกระทั่งมีจำนวนต่ำสุดในช่วงเดือนมกราคมและกุมภาพันธ์ พ.ศ. 2537 ส่วนที่สถานีที่ 2 จะพบว่าตั้งแต่เดือนมกราคม พ.ศ. 2537 เป็นต้นมา ปริมาณแพลงก์ตอนพืชที่สถานานี้มักจะมีจำนวนมากที่สุดเมื่อเทียบกับสถานีอื่นๆ ในช่วงเดียวกัน

จากการคำนวณค่า species diversity index, ค่า evenness และค่า species richness ซึ่งได้แสดงในตารางที่ 3.16 พบว่าสถานีที่ 2 จะมีค่า species diversity index และค่า evenness สูงที่สุด และจะ

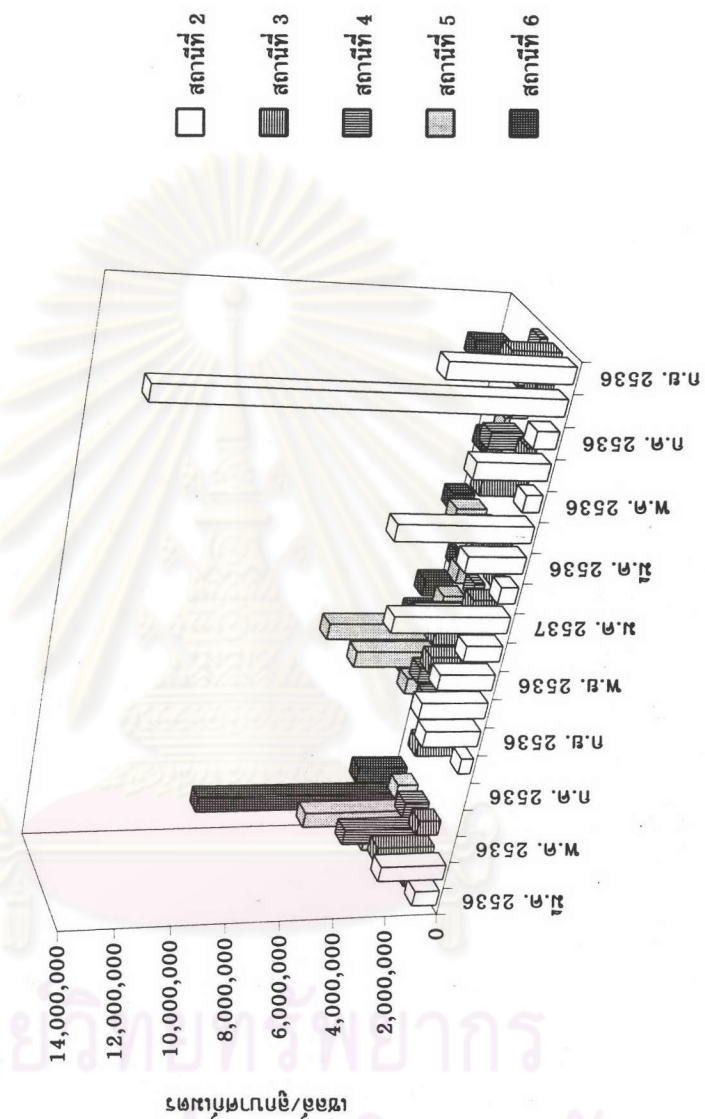
ลดลงเรื่อยๆตามสถานีที่อยู่ห่างออกไป และสถานีที่ 4 จะมีค่า species richness สูงที่สุดถัดมาเป็นสถานีที่ 2, 3, 5 และ 6 และจากการทดสอบความแตกต่างของปริมาณเฉลี่ยของแพลงก์ตอนพืชในแต่ละสถานีโดยใช้ ANOVA Single-Factor พบร้าจำนวนเฉลี่ยของแพลงก์ตอนพืชไม่มีความแตกต่างกันในแต่ละสถานี

รูปที่ 3.21 แพลงก์ตอนพืชสกุลเด่นที่พบบริเวณอ่าวป่าตอง



ศูนย์วิทยทรัพยากร
จุฬาลงกรณ์มหาวิทยาลัย

รูปที่ 3.22 ปริมาณแพลงก์ตอนพืชที่พบในสถานีต่างๆ บริเวณอ่าวปากบาง



ตารางที่ 3.16 ค่า diversity index, evenness และ species richness

ของแพลงก์ตอนพืชบริเวณอ่าวป่าตอง

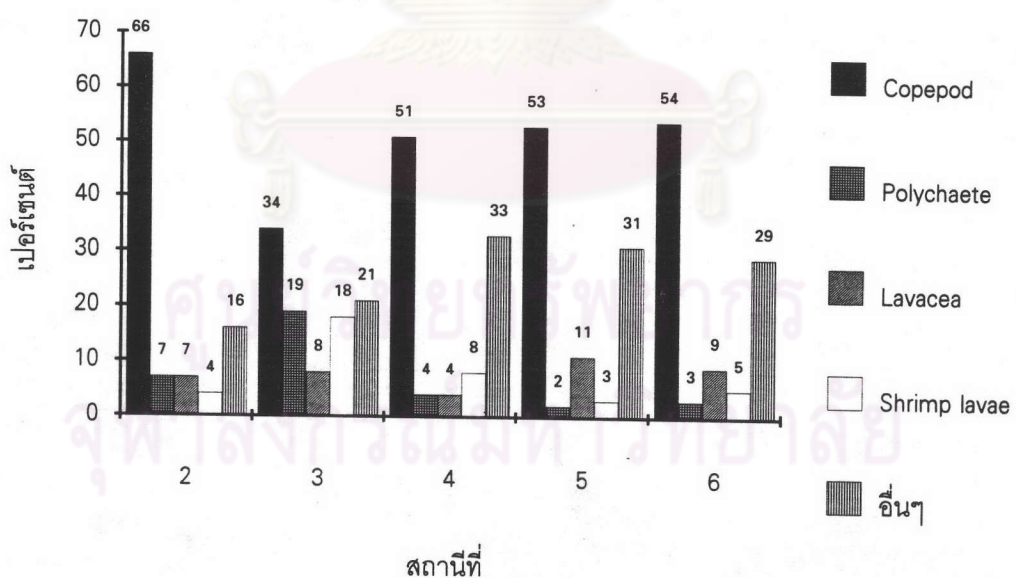
| สถานีที่ | diversity index | evenness | species richness |
|----------|-----------------|----------|------------------|
| 2 | 2.67 | 0.71 | 5.35 |
| 3 | 2.51 | 0.66 | 5.26 |
| 4 | 2.12 | 0.55 | 6.25 |
| 5 | 1.72 | 0.48 | 4.92 |
| 6 | 1.52 | 0.42 | 4.83 |

3.3.2 การศึกษาองค์ประกอบชนิดและปริมาณแพลงก์ตอนสัตว์ องค์ประกอบชนิดและปริมาณแพลงก์ตอนสัตว์ที่พบจะแสดงในภาคผนวก ง จากการศึกษาพบแพลงก์ตอนสัตว์จำนวน 37 กลุ่ม ใน 12 ไฟล์ ในการเก็บตัวอย่างแต่ละครั้งในแต่ละสถานีจะพบแพลงก์ตอนอยู่ในช่วง 6-24 ตัวต่อลูกบาศก์เมตร แพลงก์ตอนสัตว์กลุ่มที่พบเป็นปริมาณมากในทุกๆ สถานีคือ Copepod ส่วนกลุ่มที่พบจำนวนค่อนข้างมากเกือบทุกครั้งของการเก็บตัวอย่างได้แก่กลุ่ม Hydromedusae, Gastropod larvae, Bivalve larvae, Polychaete, Shrimp larvae, Chaetognag, Lavacea, Lucifer, Scyphozoa และ Echinoderm larvae ดังแสดงในรูปที่ 3.23 และจากการศึกษาจำนวนแพลงก์ตอนสัตว์จะพบว่าในแต่ละสถานีมีความแตกต่างไปในแต่ละเดือนเช่นเดียวกับแพลงก์ตอนพืช โดยสามารถสรุปได้ตามสถานีดังนี้คือ ที่สถานีที่ 2 มีจำนวนแพลงก์ตอนสัตว์อยู่ในช่วง 139-3,351 เชลล์ต่อลูกบาศก์เมตร ในเดือนเมษายน 2536 และ สิงหาคม 2537 ตามลำดับ ในสถานีที่ 3 จะมีจำนวนแพลงก์ตอนอยู่ในช่วง 35-3,592 เชลล์ต่อลูกบาศก์เมตร ในเดือนมีนาคม 2537 และสิงหาคม 2537 ตามลำดับ ในสถานีที่ 4 จะมีจำนวนแพลงก์ตอนอยู่ในช่วง 252-3,526 เชลล์ต่อลูกบาศก์เมตร ในเดือนสิงหาคม 2536 และกันยายน 2536 ในสถานีที่ 5 จะมี

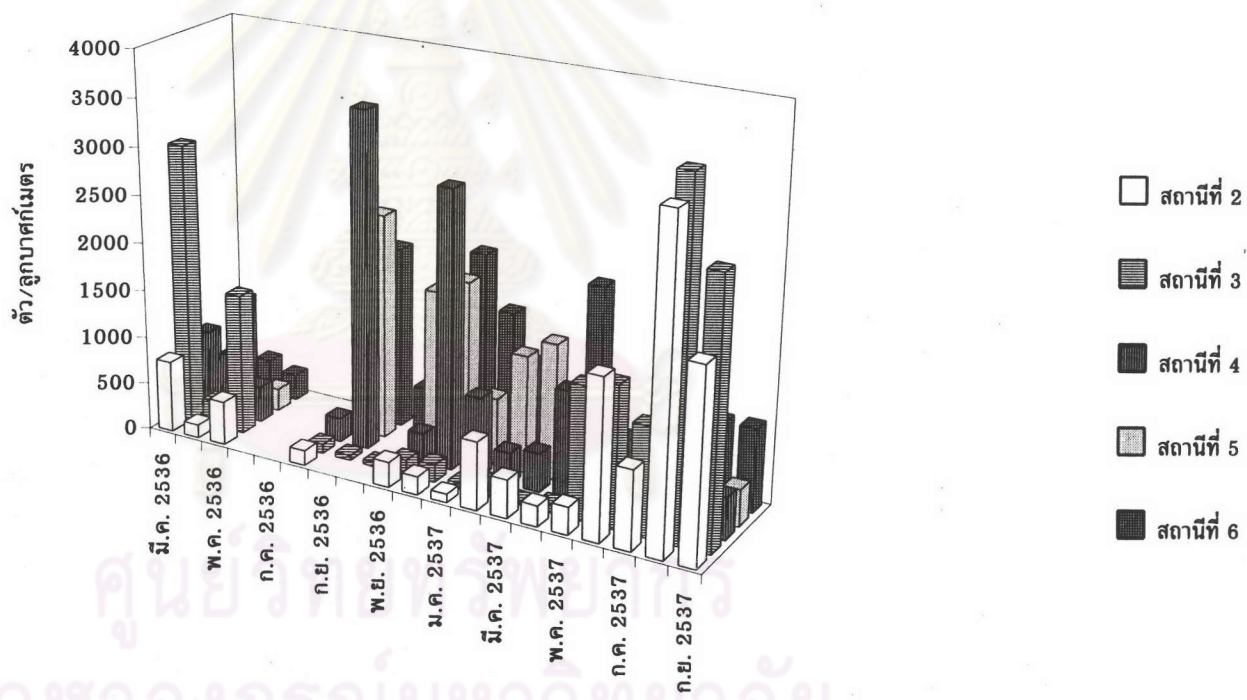
จำนวนแพลงก์ตอนอยู่ในช่วง 108-2,359 เซลล์ต่อลูกบาศก์เมตร ในเดือนกรกฎาคม 2538 และกันยายน 2537 และในสถานีที่ 6 จะมีจำนวนแพลงก์ตอนอยู่ในช่วง 274-2,032 เซลล์ต่อลูกบาศก์เมตร ในเดือนพฤษภาคม 2536 และธันวาคม 2536 ดังแสดงในภาพที่ 3.24

จากการคำนวณค่า species diversity index, ค่า evenness และ species richness พบร้าสถานีที่ 3 มีค่า species diversity index สูงที่สุด ส่วนสถานีที่ 4, 5, 6 และ 2 จะมีค่าลดลงตามลำดับ สถานีที่ 3 จะมีค่า evenness สูงสุดเช่นกัน โดยสถานีที่ 4, 6, 5 และ 2 จะมีค่าดังกล่าวลดลงตามลำดับ และพบร้าสถานีที่ 5 จะมีค่า species richness สูงที่สุด โดยสถานีที่ 6 4 3 และ 2 จะมีค่าลดลงตามลำดับ อย่างไรก็ตามค่าเหล่านี้จะไม่แตกต่างมากกันนักในแต่ละสถานี ดังแสดงในตารางที่ 3.17 และจากการทดสอบความแตกต่างของปริมาณเฉลี่ยของแพลงก์ตอนในแต่ละสถานี โดยใช้ ANOVA Single-Factor พบร้าจำนวนเฉลี่ยของแพลงก์ตอนสัตว์ไม่มีความแตกต่างกันในแต่ละสถานี

รูปที่ 3.23 แพลงก์ตอนสัตว์กลุ่มเด่นที่พบบริเวณอ่าวป่าตอง



รูปที่ 3.24 ปริมาณแพลงก์ตอนสัตว์ที่พบในสถานีต่างๆบริเวณอ่าวป่าตอง



ตารางที่ 3.17 ค่า diversity index, evenness และ species richness

ของแพลงก์ตอนสัตว์บริเวณอ่าวป่าตอง

| สถานีที่ | diversity index | evenness | species richness |
|----------|-----------------|----------|------------------|
| 2 | 1.46 | 0.44 | 6.4 |
| 3 | 2.00 | 0.59 | 6.91 |
| 4 | 1.97 | 0.58 | 6.93 |
| 5 | 1.84 | 0.53 | 7.56 |
| 6 | 1.84 | 0.54 | 6.96 |

3.4 การศึกษาดินตะกอนและปริมาณแบคทีเรียในดินตะกอน

ในการศึกษาเกี่ยวกับดินตะกอนไม่สามารถทำการเก็บตัวอย่างได้ในทุกสถานี โดยเฉพาะ สถานีที่ 1 และสถานีที่ 5 ทั้งนี้เนื่องจากสถานีที่ 1 มีระดับน้ำตื้นเกินไปจนไม่เหมาะสมกับการศึกษาบาง ประการ เช่น อัตราการตกรตะกอน ส่วนสถานีที่ 5 จะไม่สามารถทำการเก็บตัวอย่างดินได้เนื่องจากมีระดับ น้ำลึกมากจนอาจมีผลต่อความปลดภัยในการปฏิบัติงาน

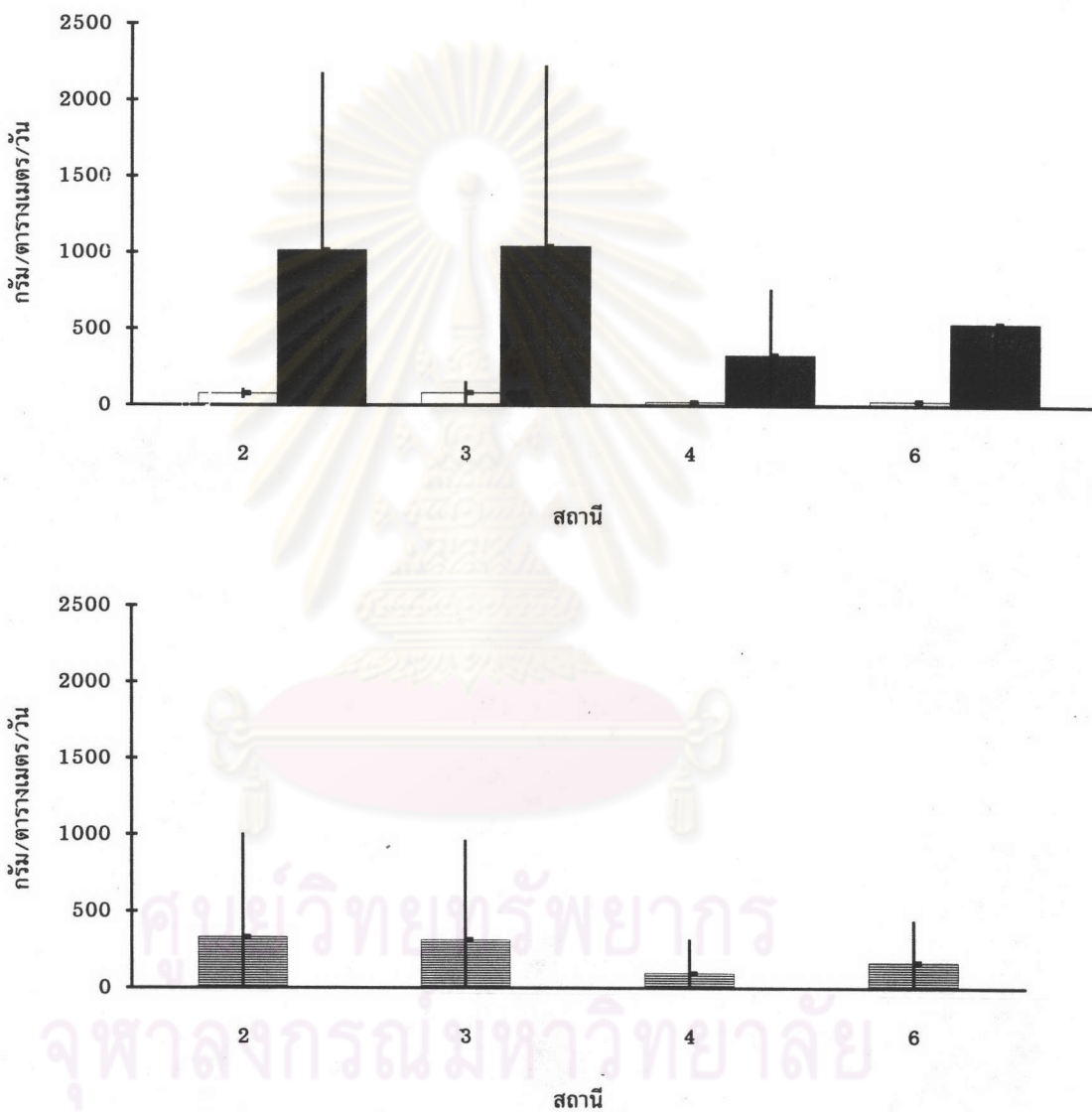
3.4.1 การศึกษาอัตราการตกรตะกอน จากการศึกษาอัตราการตกรตะกอนที่สถานีต่างๆ บริเวณอ่าวป่าตอง ซึ่งแสดงในตารางที่ 3.18 และรูปที่ 3.22 จะพบว่าสถานีที่ 2 และ 3 มีอัตราการตกร ตะกอนเฉลี่ยค่อนข้างสูง เมื่อเทียบกับสถานีอื่นๆ โดยจะมีอัตราการตกรตะกอนเฉลี่ยอยู่ในช่วง 331.8 ± 672.5 และ 311.4 ± 651.4 กรัม/ตารางเมตร/วัน ตามลำดับ ส่วนสถานีที่ 4 และ 6 จะมีอัตราการตกร ตะกอนโดยเฉลี่ยลดลงมาที่ทำการศึกษาอยู่ในช่วง 96.9 ± 222.1 ถึง 165.6 ± 278.3 ตามลำดับ และพบว่า อัตราการตกรตะกอนในฤดูมรสุมตะวันตกเฉียงใต้จะสูงกว่าในช่วงมรสุมตะวันออกเฉียงเหนือ โดยอัตรา การตกรตะกอนเฉลี่ยในฤดูมรสุมตะวันตกเฉียงใต้ที่สถานีที่ 2, 3, 4 และ 6 คิดเป็น 1100.6 ± 1258.9 ,

1128.1±1282.3, 360.7±468.5 และ 583.1±0 กรัม/ตารางเมตร/วัน ตามลำดับ ส่วนในช่วงมรสุมตะวันออกเฉียงเหนือมีอัตราการตกรากอนที่สถานีเดียวกันคิดเป็น 75.6 ± 31.2 , 78.0 ± 76.8 , 21.5 ± 2.6 และ 26.4 ± 1.3 ตามลำดับ แม้้อัตราการตกรากอนในแต่ละสถานีในแต่ละช่วงมรสุมมีค่าแตกต่างกันค่อนข้างมากแต่จากการทดสอบความแตกต่างของอัตราการตกรากอนในแต่ละสถานีที่ทำการศึกษาในฤดูมรสุมตะวันตกเฉียงใต้และมรสุมตะวันออกเฉียงเหนือพบว่าอัตราการตกรากอนที่สถานีต่างๆ มีค่าไม่แตกต่างกันในช่วงมรสุมเดียวกัน และไม่มีความแตกต่างของค่าดังกล่าวที่สถานีเดียวกันในแต่ละฤดูมรสุม ทั้งนี้อาจเนื่องมาจากการเก็บตัวอย่างแต่ละครั้งมีความแปรปรวนเกิดขึ้นค่อนข้างสูง

ตารางที่ 3.18 ค่าเฉลี่ยและส่วนเบี่ยงเบนมาตรฐานของอัตราการตกรากอน
ที่สถานีต่างๆ บริเวณอ่าวป่าตอง (หน่วยเป็น กรัม/ตารางเมตร/วัน) ¹⁶

| สถานที่ | มรสุมตะวันออกเฉียงเหนือ (ธ.ค.-เม.ย.) | | มรสุมตะวันตกเฉียงใต้ (พ.ค.-พ.ย.) | | ตลอดปี | |
|---------|---|-------|-------------------------------------|---------|--------|--------|
| | MEAN | SD | MEAN | SD | MEAN | SD |
| 1 | - | - | - | - | - | - |
| 2 | 75.57 | 31.16 | 1100.61 | 1258.91 | 331.83 | 672.5 |
| 3 | 78.04 | 76.83 | 1128.14 | 1282.28 | 311.39 | 651.44 |
| 4 | 21.53 | 2.59 | 360.69 | 468.49 | 96.9 | 222.13 |
| 5 | - | - | - | - | - | - |
| 6 | 26.43 | 1.34 | 583.08 | 0 | 165.59 | 278.33 |

¹⁶ จากการทดสอบโดย two way ANOVA ที่ $\alpha = 0.05$ พบรากฤดูมรสุมและสถานีไม่มีผลต่ออัตราการตกรากอน (ภาคผนวก ข)



รูปที่ 3.25 ค่าเฉลี่ยและส่วนเบี่ยงเบนมาตรฐานของอัตราการตกตะกอนที่สถานีต่างๆ

บริเวณอ่าวป่าตอง

- นรสมดะวันออกเฉียงเหนือ (ธันวาคม-เมษายน)
- นรสมด ะวันตกเฉียงใต้ (พฤษภาคม-พฤษจิกายน)
- ตลอดปี

3.4.2 การศึกษาขนาดของตะกอนดิน จากการศึกษาค่าเฉลี่ยขนาดดินตะกอนจะแสดงผลในตารางที่ 3.19 และรูปที่ 3.26 พบร้าพื้นท้องทะเลของอ่าวป่าตองส่วนใหญ่ประกอบด้วยอนุภาคดินตะกอนที่เป็นทรายขนาดต่างๆ ซึ่งมีขนาดเส้นผ่าศูนย์กลางเฉลี่ยอยู่ในช่วง 0.165-0.76 มิลลิเมตร สถานีที่ 1 ประกอบด้วยอนุภาคดินตะกอนที่มีขนาดเฉลี่ยตั้งแต่ 0.187-0.758 มม. ซึ่งเป็นทรายหยาบไปจนถึงทรายละเอียดมาก สถานีที่ 2 ประกอบด้วยอนุภาคดินตะกอนที่มีขนาดเฉลี่ยตั้งแต่ 0.196-0.49 มม. เป็นทรายขนาดปานกลางไปจนถึงทรายละเอียดมาก สถานีที่ 3 ประกอบด้วยอนุภาคดินตะกอนที่มีขนาดเฉลี่ย 0.176-0.602 มม. เป็นทรายหยาบไปจนถึงทรายละเอียดมาก สถานีที่ 4 ประกอบด้วยอนุภาคดินตะกอนที่มีขนาดเฉลี่ย 0.463-0.732 มม. เป็นทรายหยาบไปจนถึงทรายละเอียด สำหรับสถานีที่ 6 ประกอบด้วยอนุภาคดินตะกอนที่มีขนาดเฉลี่ย 0.165-0.742 มม. ซึ่งเป็นทรายหยาบไปจนถึงทรายละเอียดมาก

เมื่อพิจารณาค่าสัมประสิทธิ์การแยกชนิดของอนุภาค ซึ่งเป็นค่าที่บ่งถึงลำดับการแยกชนิดของตะกอน (degree of sorting) ดังแสดงในตารางที่ 3.20 และรูปที่ 3.27 พบร้าค่าดังกล่าวมีค่าสูงกว่า 1 ในทุกๆ สถานี แสดงว่าพื้นทะเลบริเวณนี้มีการทับถมของอนุภาคหลายขนาดโดยไม่มีอนุภาคขนาดเดখนาคนั่นเองปริมาณมากอย่างเด่นชัด

จากการศึกษาปริมาณชิลท์-เคลล์ที่สถานีต่างๆ ดังแสดงในตารางที่ 3.21 และภาพที่ 3.28 พบร้าสถานีที่ 1 มีปริมาณชิลท์-เคลล์อยู่ในช่วง 0.87-4.09 เปอร์เซนต์ของน้ำหนักตะกอน สถานีที่ 2 มีค่าอยู่ในช่วง 1.56 เปอร์เซนต์ของน้ำหนักตะกอน สถานีที่ 3 มีค่าอยู่ในช่วง 3.15-9.14 เปอร์เซนต์ของน้ำหนักตะกอน สถานีที่ 4 มีค่าอยู่ในช่วง 1.64-6.39 เปอร์เซนต์ของน้ำหนักตะกอน สถานีที่ 6 มีค่าอยู่ในช่วง 2.59-12.37 เปอร์เซนต์ของน้ำหนักตะกอน

3.4.3 การหาปริมาณสารอินทรีย์ในดิน จากการศึกษาปริมาณสารอินทรีย์ในดิน ซึ่งแสดงผลในตารางที่ 3.22 และรูปที่ 3.29 สถานีที่ 1 มีปริมาณสารอินทรีย์ในดินอยู่ในช่วง 0.64-2.53 เปอร์เซนต์ของน้ำหนักตะกอน สถานีที่ 2 มีค่าอยู่ในช่วง 1.63-3.07 เปอร์เซนต์ของน้ำหนักตะกอน สถานีที่ 3 2.82-4.26 เปอร์เซนต์ของน้ำหนักตะกอน สถานีที่ 4 2.46-4.27 เปอร์เซนต์ของน้ำหนักตะกอน และสถานีที่ 6 มีปริมาณสารอินทรีย์อยู่ในช่วง 3.1-4.85 เปอร์เซนต์ของน้ำหนักตะกอน และมีค่าเฉลี่ยตลอดปีในแต่ละสถานีคิดเป็น $1.65 \pm 0.64, 2.5 \pm 0.34, 3.71 \pm 0.36, 3.43 \pm 0.46$ และ 3.72 ± 0.57 เปอร์เซนต์ของน้ำหนักตะกอน ตามลำดับ โดยพบร้าปริมาณสารอินทรีย์ที่สถานีต่างๆ มีค่าไม่แตกต่างกันในช่วงมรสุมเดียวกัน และไม่มีความแตกต่างของค่าดังกล่าวที่สถานีเดียวกันในแต่ละฤดูมรสุม

ตารางที่ 3.19 ค่าเฉลี่ยและส่วนเบี่ยงเบนมาตรฐานของขนาดตะกอน

ที่สถานีต่างๆบริเวณอ่าวป่าตอง (หน่วยเป็น phi unit) ¹⁷

| สถานีที่ | มรดุลตะวันออกเฉียงเหนือ | | มรดุลตะวันตกเฉียงใต้ | | ผลตอบ | |
|----------|-------------------------|------|----------------------|-------------|-------|------|
| | (ธ.ค.-เม.ย.) | MEAN | SD | (พ.ค.-พ.ย.) | MEAN | SD |
| 1 | 1.19 | 0.63 | | 1.4 | 0.73 | 1.31 |
| 2 | 1.79 | 0.08 | | 1.65 | 0.39 | 1.71 |
| 3 | 1.27 | 0.18 | | 1.48 | 0.62 | 1.39 |
| 4 | 0.74 | 0.21 | | 0.66 | 0.27 | 0.7 |
| 5 | - | - | | - | - | - |
| 6 | 0.9 | 0.27 | | 1.07 | 0.78 | 0.98 |

¹⁷ จากการทดสอบโดย two way ANOVA ที่ $\alpha = 0.05$ พบรากดูมรดุลและสถานีไม่มีผลต่อขนาดของตะกอน (ภาคผนวก ๊ฯ)

ตารางที่ 3.20 ค่าเฉลี่ยและส่วนเบี่ยงเบนมาตรฐานของค่าสัมประสิทธิ์การแยกชนิด

ของอนุภาคดินตะกอน ที่สถานีต่างๆบริเวณอ่าวป่าตอง ¹⁸

| สถานีที่ | มรดุลตะวันออกเฉียงเหนือ | | มรดุลตะวันตกเฉียงใต้ | | ผลตอบ | |
|----------|-------------------------|------|----------------------|-------------|-------|------|
| | (ธ.ค.-เม.ย.) | MEAN | SD | (พ.ค.-พ.ย.) | MEAN | SD |
| 1 | 2.51 | 1.94 | | 3.11 | 2.21 | 2.86 |
| 2 | 3.66 | 0.31 | | 3.32 | 1.24 | 3.47 |
| 3 | 2.73 | 0.51 | | 3.46 | 2.04 | 3.14 |
| 4 | 1.25 | 0.39 | | 1.05 | 0.49 | 1.14 |
| 5 | - | - | | - | - | - |
| 6 | 1.87 | 0.69 | | 2.4 | 2.34 | 2.11 |

¹⁸ จากการทดสอบโดย two way ANOVA ที่ $\alpha = 0.05$ พบรากดูมรดุลและสถานีไม่มีผลต่อการแยกชนิดของอนุภาคดินตะกอน (ภาคผนวก ๊ฯ)

ตารางที่ 3.21 ค่าเฉลี่ยและส่วนเบี่ยงเบนมาตรฐานของปริมาณชีลท์-เคลียร์
ที่สถานีต่างๆบริเวณอ่าวป่าตอง (หน่วยเป็นเปอร์เซนต์) ¹⁹

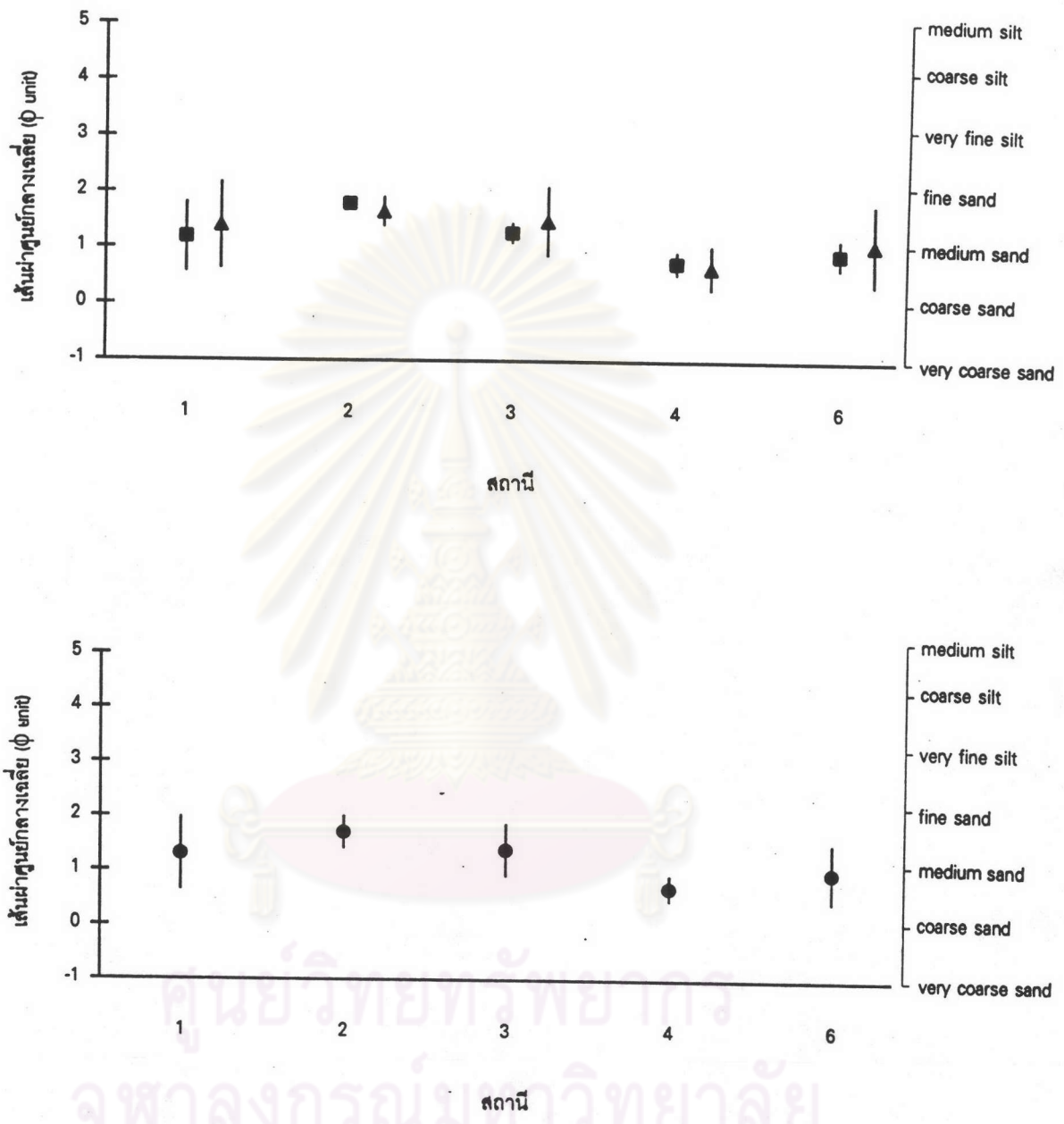
| สถานีที่ | มรดุลตัววันออกเจียงเหนือ (ธ.ค.-เม.ย.) | | มรดุลตัววันตกเจียงใต้ (พ.ค.-พ.ย.) | | ตลอดปี | |
|----------|--|------|--------------------------------------|------|--------|------|
| | MEAN | SD | MEAN | SD | MEAN | SD |
| 1 | 2.56 | 1.22 | 2.12 | 0.69 | 2.3 | 0.94 |
| 2 | 3.33 | 0.91 | 3.03 | 1.61 | 3.16 | 1.32 |
| 3 | 6.16 | 2.2 | 6.12 | 1.95 | 6.14 | 1.99 |
| 4 | 3.55 | 1.43 | 2.47 | 0.51 | 2.97 | 1.15 |
| 5 | - | - | - | - | - | - |
| 6 | 7 | 3.11 | 3.99 | 1.32 | 5.61 | 2.83 |

¹⁹ จากการทดสอบโดย two way ANOVA ที่ $\alpha = 0.05$ พบรากุดมรดุลและสถานี
ไม่มีผลต่อปริมาณชีลท์-เคลียร์ (ภาคผนวก ๔)

ตารางที่ 3.22 ค่าเฉลี่ยและส่วนเบี่ยงเบนมาตรฐานของปริมาณสารอินทรีย์ในตะกอน
ที่สถานีต่างๆบริเวณอ่าวป่าตอง (หน่วยเป็นเปอร์เซนต์ของน้ำหนักแห้งของดิน) ²⁰

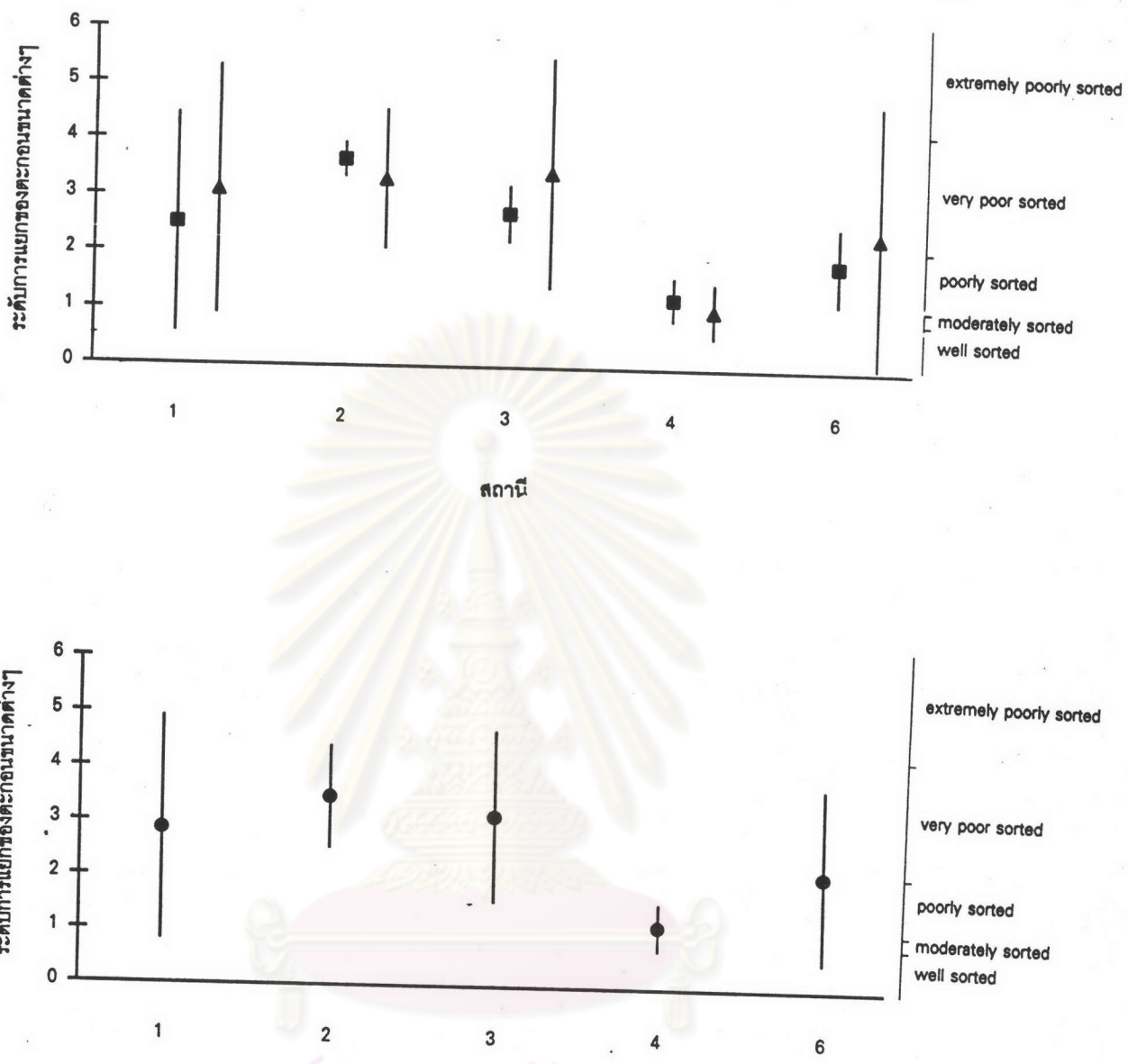
| สถานีที่ | มรดุลตัววันออกเจียงเหนือ (ธ.ค.-เม.ย.) | | มรดุลตัววันตกเจียงใต้ (พ.ค.-พ.ย.) | | ตลอดปี | |
|----------|--|------|--------------------------------------|------|--------|------|
| | MEAN | SD | MEAN | SD | MEAN | SD |
| 1 | 1.63 | 0.58 | 1.66 | 0.72 | 1.65 | 0.64 |
| 2 | 2.53 | 0.13 | 2.56 | 0.46 | 2.55 | 0.34 |
| 3 | 3.78 | 0.24 | 3.65 | 0.43 | 3.71 | 0.36 |
| 4 | 3.6 | 0.35 | 3.32 | 0.51 | 3.43 | 0.46 |
| 5 | - | - | - | - | - | - |
| 6 | 3.95 | 0.52 | 3.45 | 0.54 | 3.72 | 0.57 |

²⁰ จากการทดสอบโดย two way ANOVA ที่ $\alpha = 0.05$ พบรากุดมรดุลและสถานี
ไม่มีผลต่อปริมาณสารอินทรีย์ในตะกอน (ภาคผนวก ๔)



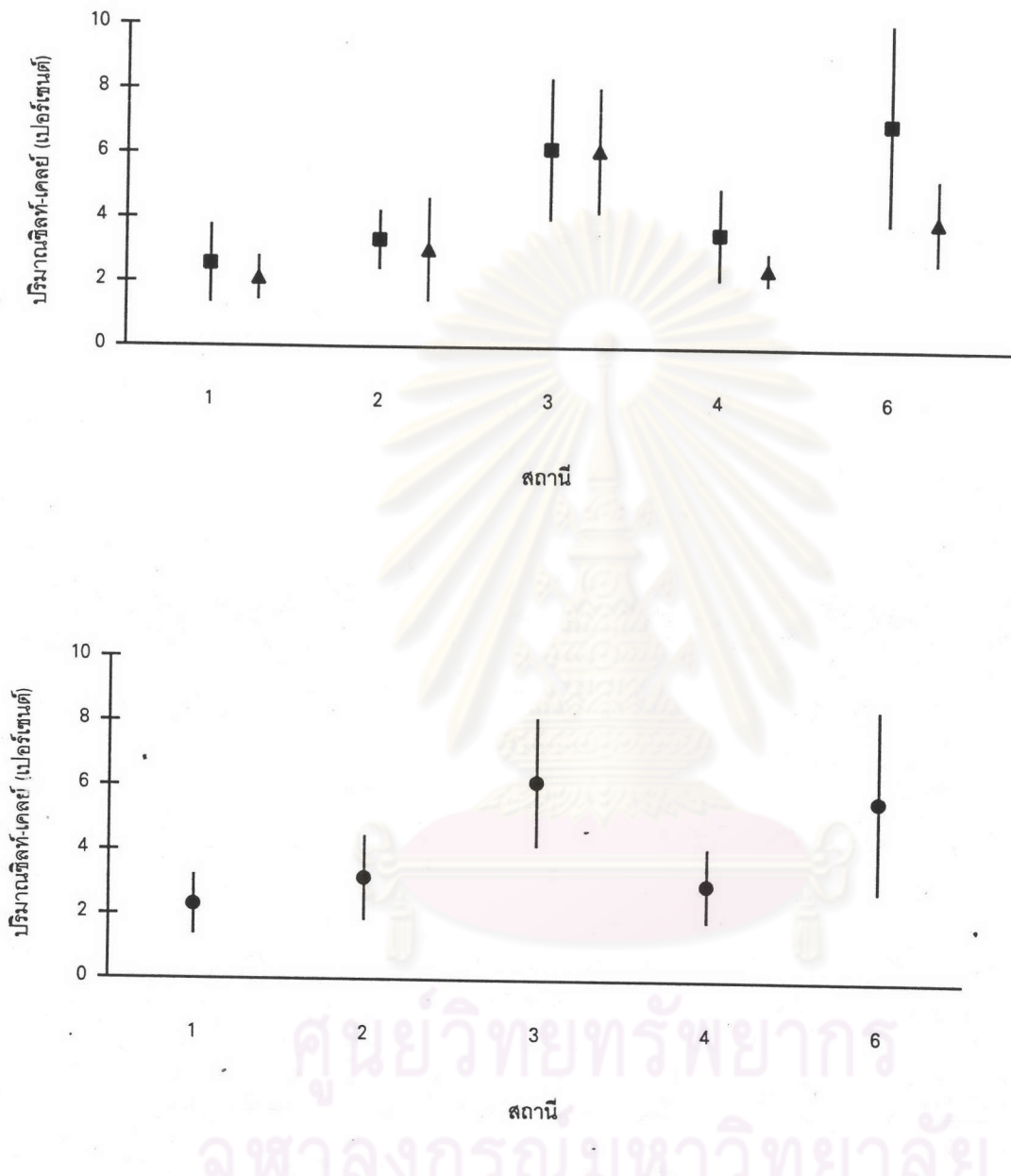
รูปที่ 3.26 ค่าเฉลี่ยและส่วนเบี่ยงเบนมาตรฐานของเส้นผ่าศูนย์กลางของตะกอนที่สถานีต่างๆ บริเวณอ่าวป่าตอง

- นรสุนตะวันออกเฉียงเหนือ (ธันวาคม-เมษายน)
- ▲ นรสุนตะวันตกเฉียงใต้ (พฤษภาคม-พฤษจิกายน)
- ค่าเฉลี่ยตลอดปี



ข้อที่ 3.27 ค่าเฉลี่ยและส่วนเบี่ยงเบนมาตรฐานของอัตราการแยกของตะกอนที่สถานีต่างๆ บริเวณอ่าวป่าตอง

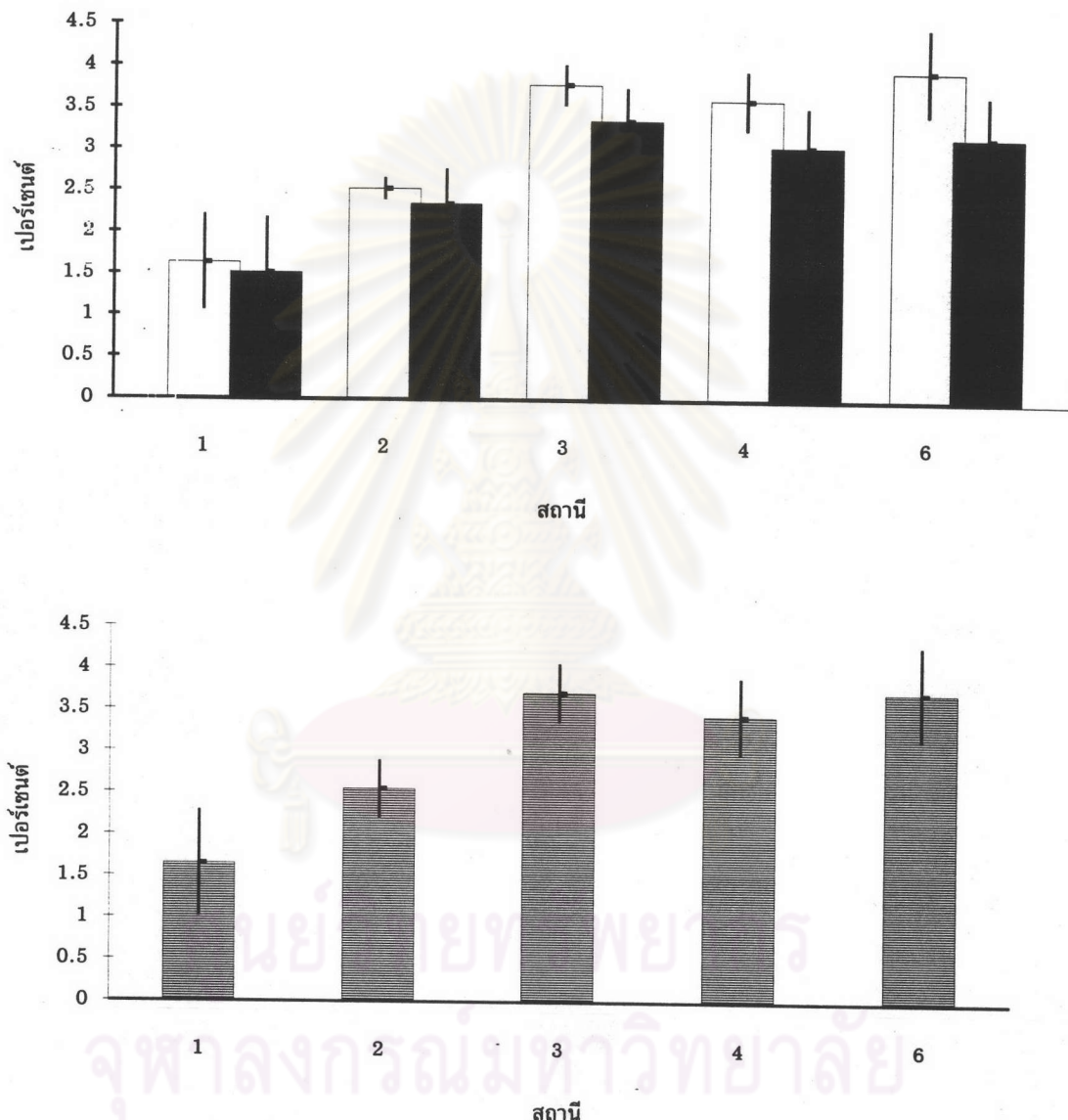
- นรสุ่มตะวันออกเฉียงเหนือ (ธันวาคม-เมษายน)
- ▲ นรสุ่มตะวันตกเฉียงใต้ (พฤษภาคม-พฤษจิกายน)
- ค่าเฉลี่ยตลอดปี



รูปที่ 3.28 ค่าเฉลี่ยและส่วนเบี่ยงเบนมาตรฐานของปริมาณซิลิค-เคลล์ที่สถานีต่างๆ

บริเวณอ่าวป่าตอง

- มวลตะวันออกเฉียงเหนือ (ธันวาคม-เมษายน)
- ▲ มวลตะวันตกเฉียงใต้ (พฤษภาคม-พฤษจิกายน)
- ตลอดปี



รูปที่ 3.29 ค่าเฉลี่ยและส่วนเบี่ยงเบนมาตรฐานของปริมาณสารอินทรีย์ในตะกอนที่สถานีต่างๆ บริเวณอ่าวป่าตอง

- ปริมาณตะวันออกเฉียงเหนือ (ธันวาคม-เมษายน)
- ปริมาณตะวันตกเฉียงใต้ (พฤษภาคม-พฤษจิกายน)
- ค่าเฉลี่ยตลอดปี

ตารางที่ 3.23 ค่าเฉลี่ยและส่วนเบี่ยงเบนมาตรฐานของจำนวนโคโลนีแบคทีเรียบนผิวดิน

ที่สถานีต่างๆบริเวณอ่าวป่าตอง (หน่วยเป็น CFU/น้ำหนักแห้งของดิน 1 กรัม) 14

| สถานีที่ | มรดุมตะวันออกเฉียงเหนือ (ธ.ค.-เม.ย.) | | มรดุมตะวันตกเฉียงใต้ (พ.ค.-พ.ย.) | | ผลตอบ | |
|----------|---|-----------|-------------------------------------|-----------|-----------|------------|
| | MEAN | SD | MEAN | SD | MEAN | SD |
| 1 | 454578.4 | 554913.55 | 1183704.75 | 898210.11 | 903271.54 | 842365.52 |
| 2 | 119662.6 | 186210.5 | 19260.14 | 16791.26 | 61094.5 | 124239.87 |
| 3 | 130783 | 237481.04 | 89927.29 | 121364.1 | 106950.5 | 170249.256 |
| 4 | 27903.6 | 24137.35 | 162419.83 | 377904.06 | 101276.09 | 276719.5 |
| 5 | - | - | - | - | - | - |
| 6 | 9473 | 6128.24 | 18409.8 | 14129.8 | 14437.89 | 11665.93 |

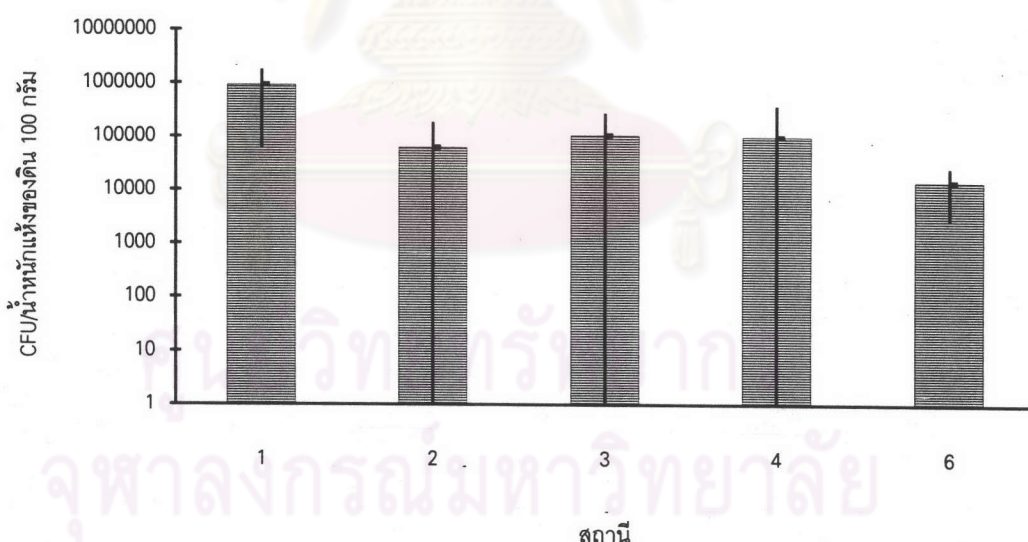
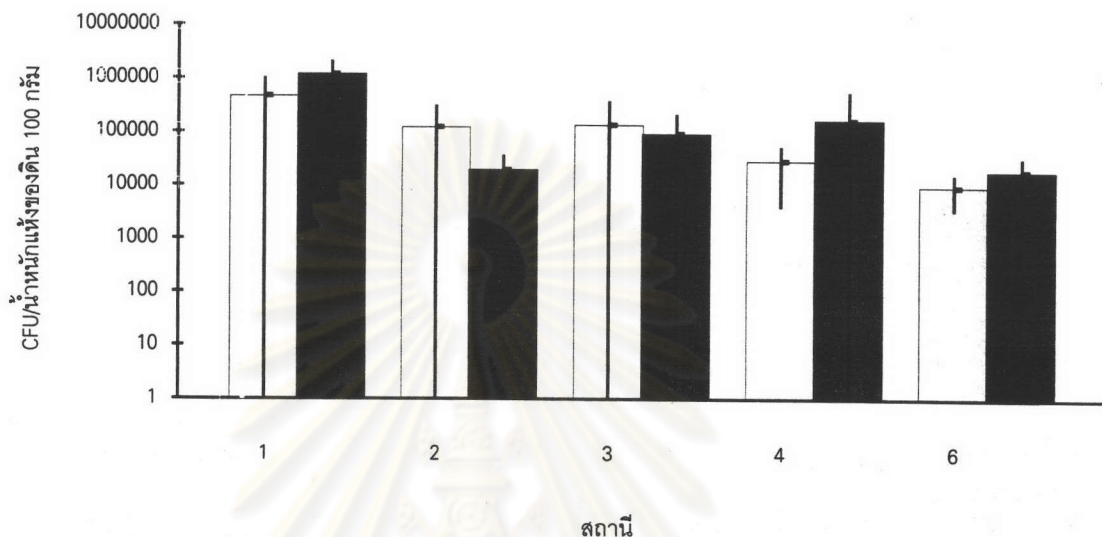
14 จากการทดสอบโดย two way ANOVA ที่ $\alpha = 0.05$ พบร่วมกันมีผลต่อจำนวนโคโลนีแบคทีเรียบนผิวดินบริเวณอ่าวป่าตอง (ภาคผนวก ข และดูรายละเอียดในข้อ 3.4.4)

ตารางที่ 3.24 ค่าเฉลี่ยและส่วนเบี่ยงเบนมาตรฐานของจำนวนโคโลนีแบคทีเรียใต้ผิวดิน 5 ช.ม.

ที่สถานีต่างๆบริเวณอ่าวป่าตอง (หน่วยเป็น CFU/น้ำหนักแห้งของดิน 1 กรัม) 15

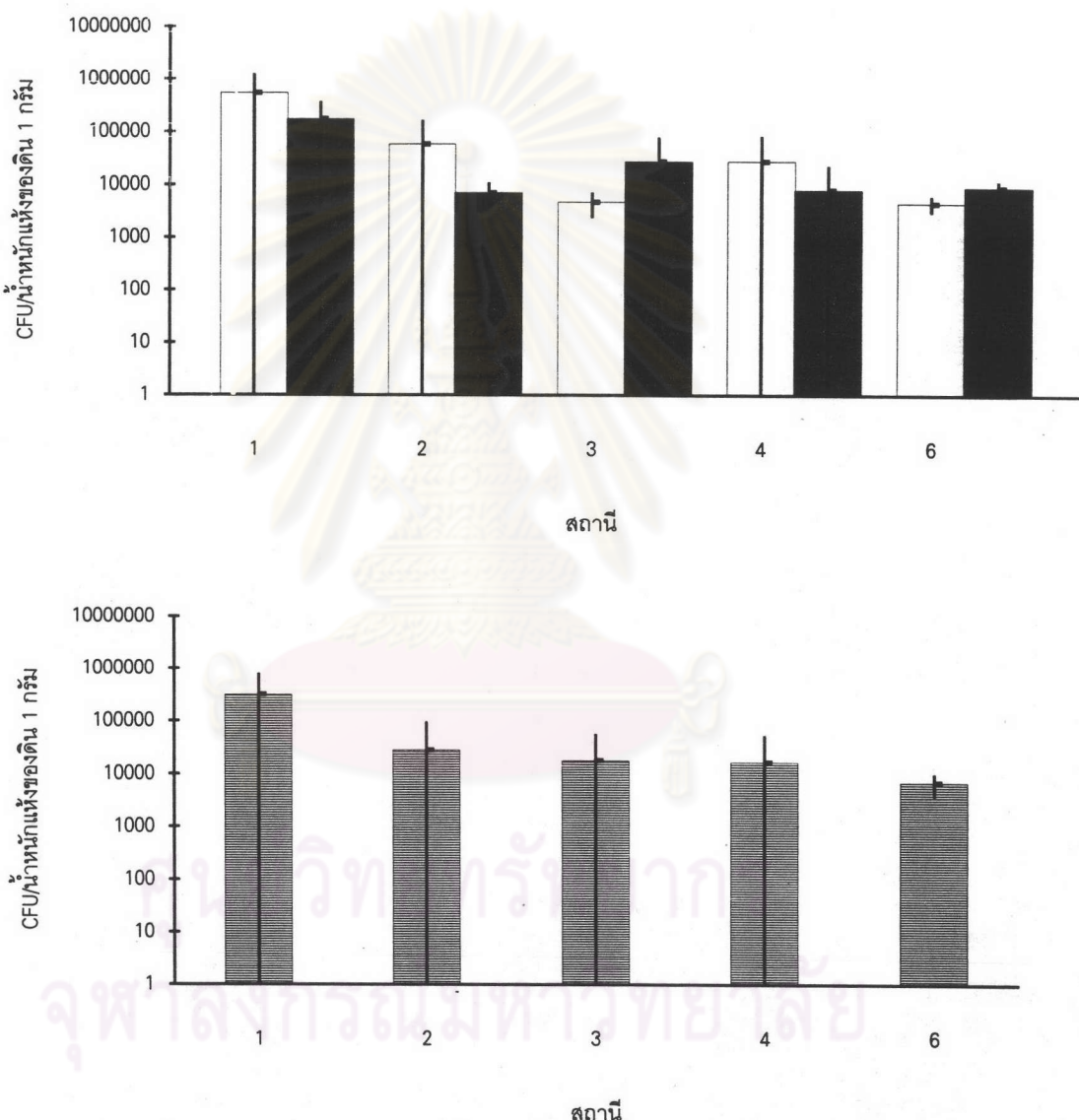
| สถานีที่ | มรดุมตะวันออกเฉียงเหนือ (ธ.ค.-เม.ย.) | | มรดุมตะวันตกเฉียงใต้ (พ.ค.-พ.ย.) | | ผลตอบ | |
|----------|---|-----------|-------------------------------------|-----------|----------|-----------|
| | MEAN | SD | MEAN | SD | MEAN | SD |
| 1 | 537879.4 | 715208.18 | 170557.25 | 197333.37 | 311835 | 477304.04 |
| 2 | 57626.6 | 105413.89 | 6970.71 | 3853.09 | 28077.33 | 68769.48 |
| 3 | 4722.8 | 2348.05 | 27547.29 | 50265.551 | 18037.08 | 38965.33 |
| 4 | 27602.4 | 54635.44 | 7884.33 | 14637.47 | 16847.09 | 37512.36 |
| 5 | - | - | - | - | - | - |
| 6 | 4533 | 1520.55 | 8975.8 | 2733.4 | 7001.22 | 3175.79 |

15 จากการทดสอบโดย two way ANOVA ที่ $\alpha = 0.05$ พบร่วมกันมีผลต่อจำนวนโคโลนีแบคทีเรียใต้ผิวดิน 5 ช.ม. (ภาคผนวก ข และดูรายละเอียดในข้อ 3.4.4)



รูปที่ 3.30 ค่าเฉลี่ยและส่วนเบี่ยงเบนมาตรฐานของจำนวนโคโลนีแบคทีเรียบนผิวดินที่สถานีต่างๆบริเวณอ่าวภาคต่อง

- mrสุมตะวันออกเฉียงเหนือ (มั่นวาคม-เมษายน)
- mrสุมตะวันตกเฉียงใต้ (พฤษภาคม-พฤษจิกายน)
- ค่าเฉลี่ยตลอดปี



รูปที่ 3.31 ค่าเฉลี่ยและส่วนเบี่ยงเบนมาตรฐานของจำนวนโคโลนีแบคทีเรียไดพอดิน 5 เซนติเมตร ที่สถานีต่างๆบริเวณอ่าวปัตตอง

- มาตรฐานตัววันออกเนี้ยงเนื้อ (มีนาคม-เมษายน)
- มาตรฐานตัววันตกเนี้ยงได (พฤษภาคม-พฤษจิกายน)
- ▨ ตลอดปี